

UKR-4 C-0 C-1

**UKR-4 C-0 C**  
Daria Klymenko

**ICHO**  
**General instructions**  
**Cover sheet**

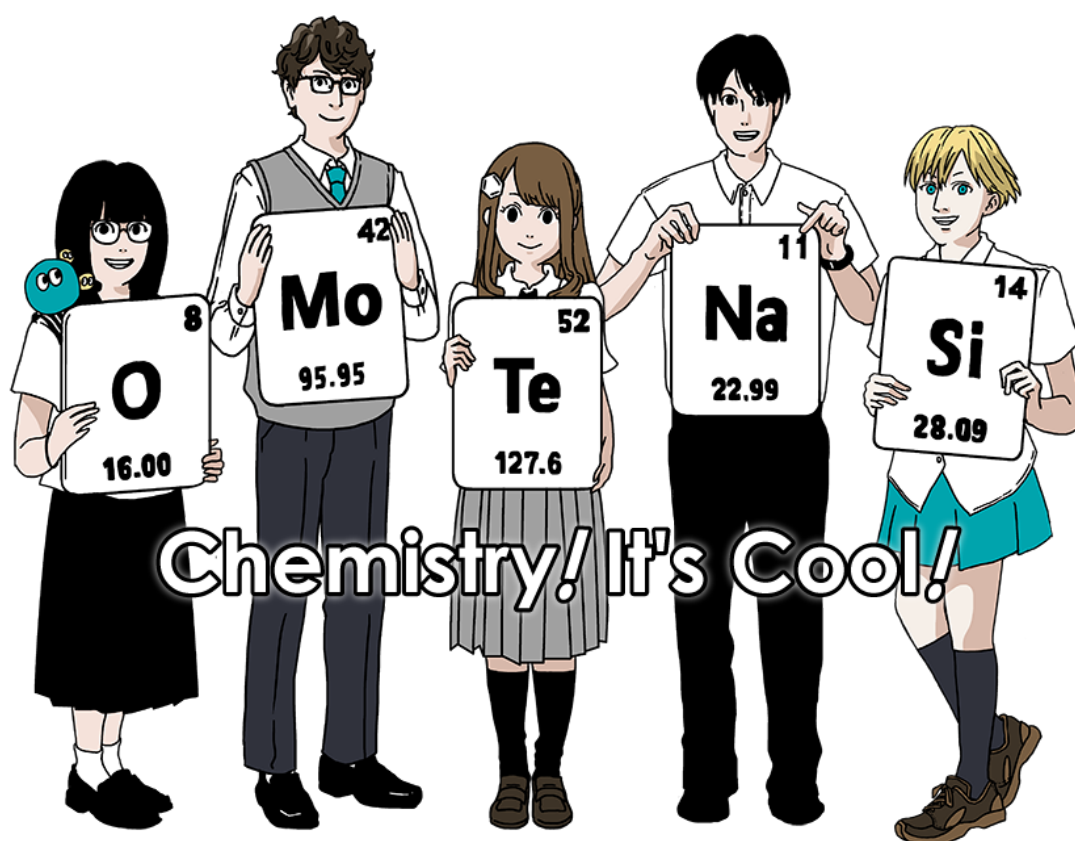
Please return this cover sheet together with all the related question sheets.

Міжнародна хімічна олімпіада 2021 Японія

53-я МХО2021 Японія

25-е липня - 2-е серпня, 2021

<https://www.icho2021.org>





UKR-4 C-0 G-2

# GO-2

Ukrainian (Ukraine)

## Загальна інструкція

- Ви можете використовувати лише ручку для написання відповідей.
- Ви маєте використовувати непрограмований калькулятор.
- Комплект складається з **9-ти завдань**.
- Ви можете розв'язувати завдання в будь-якій послідовності.
- У вас буде **5 годин** на розв'язування завдань комплекту.
- Ви **можете починати** роботу лише після команди **СТАРТ**.
- Всі результати вашої роботи мають бути записані у відведених для цього полях **листів відповідей** ручкою. Як чернетку використовуйте зворотню сторону листів відповідей. Пам'ятайте, що відповіді, записані поза межами відповідних полів, не будуть оцінюватися.
- Записуйте відповідні розрахунки, де це необхідно. Повними балами будуть оцінюватися лише правильні відповіді, підкріплені логічними аргументами чи розрахунками.
- Спостерігачі попередять вас за **30 хвилин** до команди **СТОП**.
- Ви **маєте зупинити** роботу одразу після команди **СТОП**. Невиконання команди **СТОП** призведе до дискваліфікації.
- Офіційна англomовна версія завдань може бути запрошена вами лише для уточнення умов.
- Вам заборонено покидати робоче місце без дозволу. Якщо вам потрібна допомога (не працює калькулятор, необхідно вийти в туалет та ін.), підніміть руку та чекайте дозволу спостерігача.

**УДАЧІ!**

## Завдання та оцінювання

	Назва	Максимум очків	Максимум балів
1	Водень на поверхні металу	24	11
2	Ізотопна капсула часу	35	11
3	Закон Бугера -Ламберта-Бера?	22	8
4	Редокс-хімія цинку	32	11
5	Загадковий Силіцій	60	12
6	Перехідні метали та хімія твердого тіла	45	13
7	Гра з небензоїдною ароматичністю	36	13
8	Рухливі органічні молекули та їх хіральність	26	11
9	Переваги та недоліки капсули	23	10
		<b>Всього</b>	<b>100</b>



UKR-4 C-0 G-3

# G0-3

Ukrainian (Ukraine)

## Фізичні сталі та рівняння

### Сталі

Швидкість світла в вакуумі	$c = 2.99792458 \times 10^8 \text{ m s}^{-1}$
Стала Планка	$h = 6.62607015 \times 10^{-34} \text{ J s}$
Елементарний заряд	$e = 1.602176634 \times 10^{-19} \text{ C}$
Маса електрона	$m_e = 9.10938370 \times 10^{-31} \text{ kg}$
Діелектрична стала	$\epsilon_0 = 8.85418781 \times 10^{-12} \text{ F m}^{-1}$
Стала Авогадро	$N_A = 6.02214076 \times 10^{23} \text{ mol}^{-1}$
Стала Больцмана	$k_B = 1.380649 \times 10^{-23} \text{ J K}^{-1}$
Стала Фарадея	$F = N_A \times e = 9.64853321233100184 \times 10^4 \text{ C mol}^{-1}$
Універсальна газова стала	$R = N_A \times k_B = 8.31446261815324 \text{ J K}^{-1} \text{ mol}^{-1}$ $= 8.2057366081 \times 10^{-2} \text{ L atm K}^{-1} \text{ mol}^{-1}$
Атомна одиниця маси	$u = 1 \text{ Da} = 1.66053907 \times 10^{-27} \text{ kg}$
Стандартний тиск	$p = 1 \text{ bar} = 10^5 \text{ Pa}$
Атмосферний тиск	$p_{\text{atm}} = 1.01325 \times 10^5 \text{ Pa}$
Нуль градусів Цельсія	$0^\circ \text{C} = 273.15 \text{ K}$
Ангстрем	$1 \text{ \AA} = 10^{-10} \text{ m}$
Пікометр	$1 \text{ pm} = 10^{-12} \text{ m}$
Електронвольт	$1 \text{ eV} = 1.602176634 \times 10^{-19} \text{ J}$
Мільйонна частка	$1 \text{ ppm} = 10^{-6}$
Мільярдна частка	$1 \text{ ppb} = 10^{-9}$
Трільйонна частка	$1 \text{ ppt} = 10^{-12}$
Число пі	$\pi = 3.141592653589793$
Основа натурального логарифму	$e = 2.718281828459045$

## Рівняння

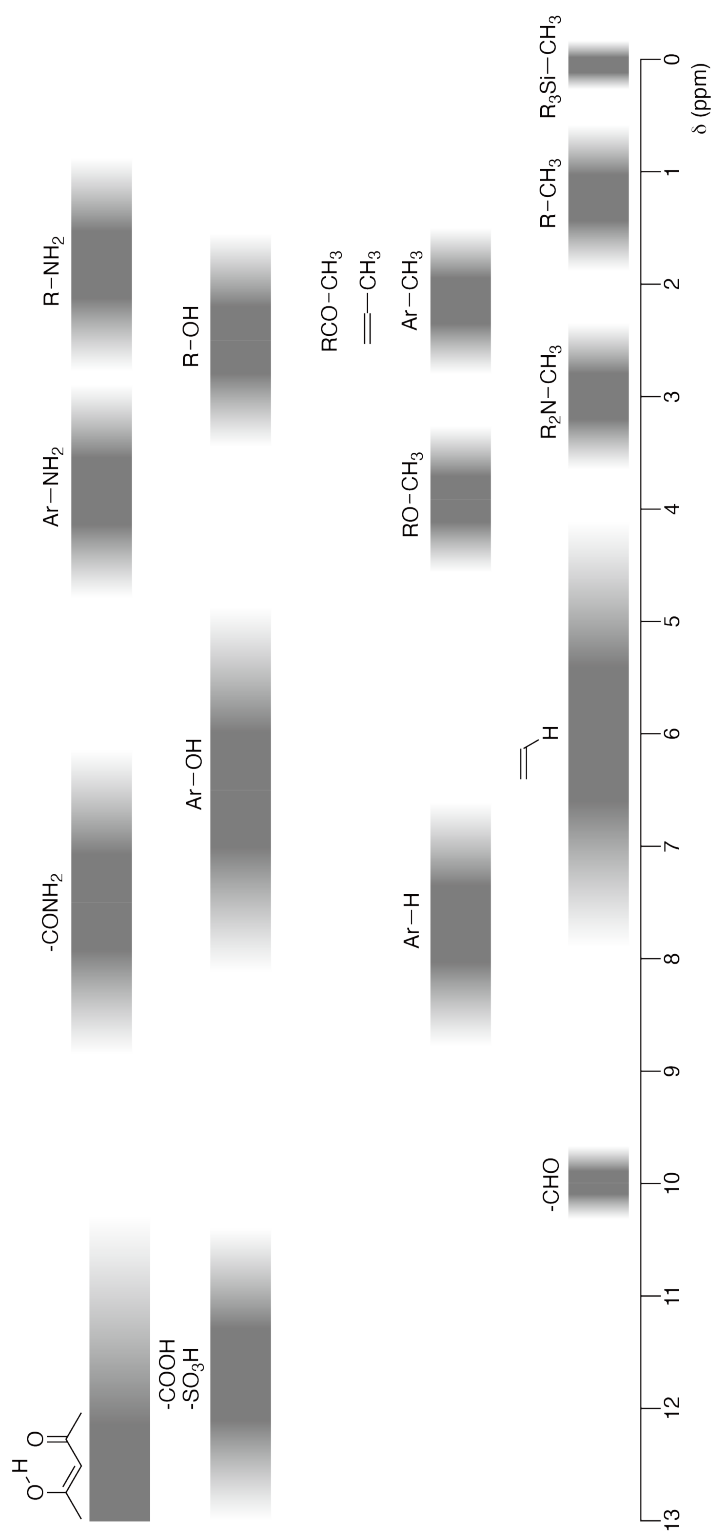
Рівняння Менделєєва-Клапейрона	$PV = nRT$ , де $P$ тиск, $V$ об'єм, $n$ кількість речовини, $T$ абсолютна температура ідеального газу.
Закон Кулона	$F = k_e \frac{q_1 q_2}{r^2}$ , де $F$ електростатична сила, $k_e (\approx 9.0 \times 10^9 \text{ N m}^2 \text{ C}^{-2})$ стала Кулона, $q_1$ та $q_2$ заряди, $r$ відстань між зарядами.
1-й закон термодінаміки	$\Delta U = q + w$ , де $\Delta U$ зміна внутрішньої енергії, $q$ додане тепло, $w$ виконана робота.
Ентальпія $H$	$H = U + PV$
Ентропія $S$	$S = k_B \ln W$ , де $W$ кількість мікростанів.
Зміна ентропії $\Delta S$	$\Delta S = \frac{q_{\text{rev}}}{T}$ , де $q_{\text{rev}}$ тепло для оборотного процесу.
Вільна енергія Гіббса $G$	$G = H - TS$ $\Delta_r G^\circ = -RT \ln K = -zFE^\circ$ , де $K$ стала рівноваги, $z$ кількість електронів, $E^\circ$ стандартний електродний потенціал.
Коефіцієнт реакції $Q$	$\Delta_r G = \Delta_r G^\circ + RT \ln Q$ Для реакції $aA + bB \rightleftharpoons cC + dD$ $Q = \frac{[C]^c [D]^d}{[A]^a [B]^b}$ , де $[A]$ концентрація А.

$\Delta q$	$\Delta q = nc_m \Delta T$ , де $c_m$ температурно незалежна молярна теплоємність.
Рівняння Нернста	$E = E^\circ + \frac{RT}{zF} \ln \frac{C_{\text{ox}}}{C_{\text{red}}}$ , де $C_{\text{ox}}$ концентрація окисненої речовини, $C_{\text{red}}$ концентрація відновленої речовини.
Рівняння Арреніуса	$k = A \exp\left(-\frac{E_a}{RT}\right)$ , де $k$ константа швидкості, $A$ передекспотенційний фактор, $E_a$ енергія активації. $\exp(x) = e^x$
Рівняння Бугера-Ламберта-Бера	$A = \varepsilon lc$ , де $A$ поглинання, $\varepsilon$ молярний коефіцієнт поглинання, $l$ довжина оптичного шляху, $c$ концентрація розчину.
Рівняння Гендерсона-Хассельбаха	Для рівноваги $\text{HA} \rightleftharpoons \text{H}^+ + \text{A}^-$ , де константа рівноваги $\epsilon K_a$ , $\text{pH} = \text{p}K_a + \log\left(\frac{[\text{A}^-]}{[\text{HA}]}\right)$
Енергія фотона	$E = h\nu = h\frac{c}{\lambda}$ , де $\nu$ частота, $\lambda$ довжина хвилі світла.
Сума геометричного ряду	Якщо $x \neq 1$ , $1 + x + x^2 + \dots + x^n = \sum_{i=0}^n x^i = \frac{1 - x^{n+1}}{1 - x}$
Наближене рівняння, яке можна використовувати для розв'язування задач	Якщо $x \ll 1$ , $\frac{1}{1 - x} \simeq 1 + x$

## Таблиця періодичної системи

		1	2	3	4	5	6	7	8	9	10	11	12	13	14	15	16	17	18																	
	1	H Hydrogen 1.008																																		
	2	<table border="1"> <tr> <td>113</td> <td>Nh</td> <td>Symbol</td> <td>atomic weight (in parenthesis for the radioactive element)</td> </tr> <tr> <td></td> <td></td> <td>name</td> <td></td> </tr> </table>																	113	Nh	Symbol	atomic weight (in parenthesis for the radioactive element)			name											
113	Nh	Symbol	atomic weight (in parenthesis for the radioactive element)																																	
		name																																		
	3	Li Lithium 6.968	4	Be Beryllium 9.012																9	F Fluorine 18.998	10	Ne Neon 20.180													
	11	Na Sodium 22.990	12	Mg Magnesium 24.306																17	Cl Chlorine 35.452	18	Ar Argon 39.948													
	19	K Potassium 39.098	20	Ca Calcium 40.078	21	Sc Scandium 44.956	22	Ti Titanium 47.867	23	V Vanadium 50.942	24	Cr Chromium 51.996	25	Mn Manganese 54.938	26	Fe Iron 55.845	27	Co Cobalt 58.933	28	Ni Nickel 58.693	29	Cu Copper 63.546	30	Zn Zinc 65.38	31	Ga Gallium 69.723	32	Ge Germanium 72.630	33	As Arsenic 74.922	34	Se Selenium 78.971	35	Br Bromine 79.904	36	Kr Krypton 83.798
	37	Rb Rubidium 85.468	38	Sr Strontium 87.62	39	Y Yttrium 88.906	40	Zr Zirconium 91.224	41	Nb Niobium 92.906	42	Mo Molybdenum 95.95	43	Tc Technetium [99]	44	Ru Ruthenium 101.07	45	Rh Rhodium 102.906	46	Pd Palladium 106.42	47	Ag Silver 107.868	48	Cd Cadmium 112.414	49	In Indium 114.818	50	Sn Tin 118.710	51	Sb Antimony 121.760	52	Te Tellurium 127.60	53	I Iodine 126.904	54	Xe Xenon 131.293
	55	Cs Caesium 132.905	56	Ba Barium 137.327	57-71	La-Lu Lanthanoids	72	Hf Hafnium 178.49	73	Ta Tantalum 180.948	74	W Tungsten 183.84	75	Re Rhenium 186.207	76	Os Osmium 190.23	77	Ir Iridium 192.217	78	Pt Platinum 195.084	79	Au Gold 196.967	80	Hg Mercury 200.592	81	Tl Thallium 204.384	82	Pb Lead 207.2	83	Bi Bismuth 208.98	84	Po Polonium [210]	85	At Astatine [210]	86	Rn Radon [222]
	87	Fr Francium [223]	88	Ra Radium [226]	89-103	Ac-Lr Actinoids	104	Rf Rutherfordium [267]	105	Db Dubnium [268]	106	Sg Seaborgium [271]	107	Bh Bohrium [272]	108	Hs Hassium [277]	109	Mt Meitnerium [276]	110	Ds Darmstadtium [281]	111	Rg Roentgenium [280]	112	Cn Copernicium [285]	113	Nh Nihonium [284]	114	Fl Flerovium [289]	115	Mc Moscovium [289]	116	Lv Livermorium [293]	117	Ts Tennessine [293]	118	Og Oganesson [294]
	57	La Lanthanum 138.905	58	Ce Cerium 140.116	59	Pr Praseodymium 140.908	60	Nd Neodymium 144.242	61	Pm Promethium [145]	62	Sm Samarium 150.36	63	Eu Europium 151.964	64	Gd Gadolinium 157.25	65	Tb Terbium 158.925	66	Dy Dysprosium 162.500	67	Ho Holmium 164.930	68	Er Erbium 167.259	69	Tm Thulium 168.934	70	Yb Ytterbium 173.045	71	Lu Lutetium 174.967	72					
	89	Ac Actinium [227]	90	Th Thorium 232.038	91	Pa Protactinium 231.036	92	U Uranium 238.029	93	Np Neptunium [237]	94	Pu Plutonium [239]	95	Am Americium [243]	96	Cm Curium [247]	97	Bk Berkelium [247]	98	Cf Californium [252]	99	Es Einsteinium [252]	100	Fm Fermium [257]	101	Md Mendelevium [258]	102	No Nobelium [259]	103	Lr Lawrencium [262]	104					

**Хімічні зсуви в спектрах <sup>1</sup>H ЯМР (м.ч., на картинці ppm)**







UKR-4 C-0 G-8

**G0-8**  
Ukrainian (Ukraine)

---

$\Delta\delta$  при заміщенні однією алкільною групою: *приблизно* +0.4 м.ч.

UKR-4 C-1 C-1

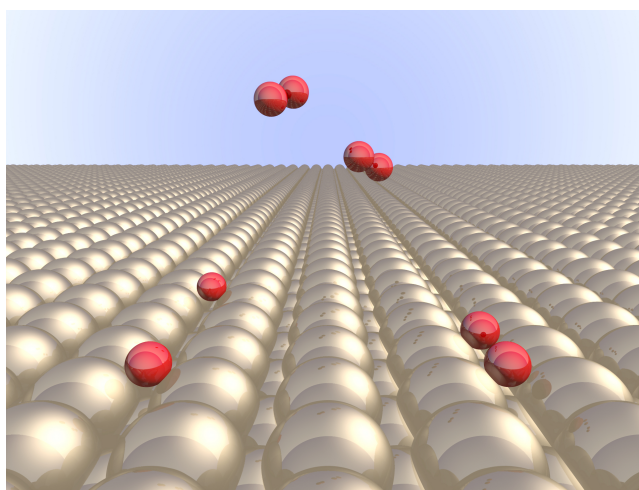
**UKR-4 C-1 C**  
Daria Klymenko

**IChO**  
**Problem 1**  
**Cover sheet**

Please return this cover sheet together with all the related question sheets.

## Водень на поверхні металу

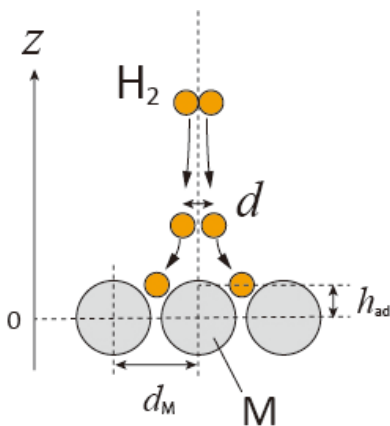
11 балів							
Питання	A.1	A.2	B.1	B.2	B.3	B.4	Сума
Очки	6	4	5	3	3	3	<b>24</b>
Оцінка							



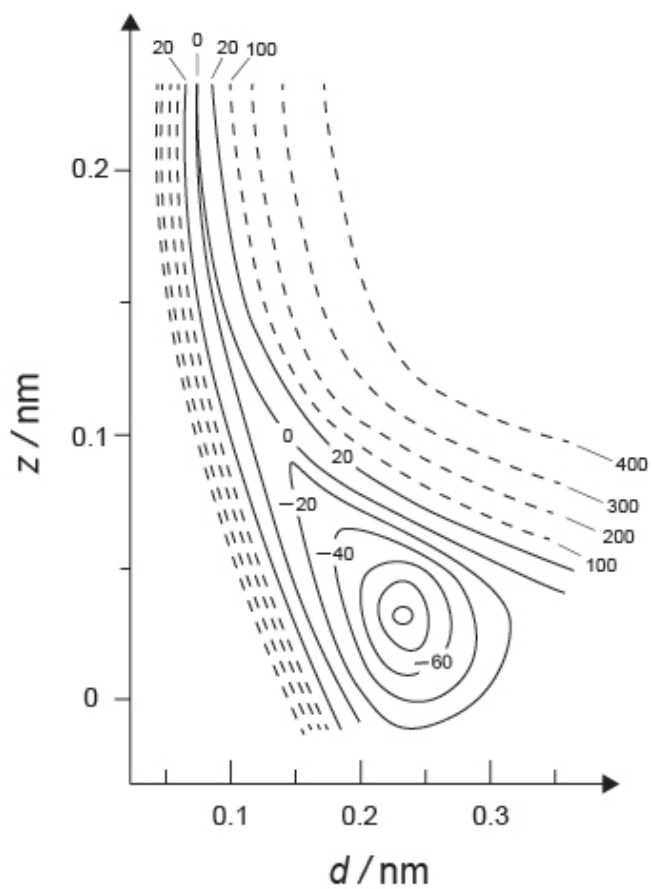
Очікується, що водень буде майбутнім джерелом енергії, яке не залежить від викопного палива. В даному завданні буде розглянуто процес зберігання водню в металі, який пов'язаний з технологією транспортування та зберігання водню.

### Частина А

Оскільки водень абсорбується у об'єм металу крізь його поверхню, давайте спочатку розглянемо процес адсорбції водню на поверхні металу,  $\text{H}_2(\text{g}) \rightarrow 2\text{H}(\text{ad})$ , де газоподібні та адсорбовані стани водню представлені, відповідно, як (g) та (ad). Молекули водню ( $\text{H}_2$ ), які досягають поверхні металу (M), дисоціюють на поверхні і адсорбуються як атоми H (Малюнок 1). Тут потенційна енергія  $\text{H}_2$  представлена двома змінними: міжатомною відстанню  $d$  і висотою  $z$  відносно поверхневого атома металу. Вважається, що вісь вздовж двох атомів H паралельна поверхні, а центр ваги завжди знаходиться на вертикальній пунктирній лінії, як на малюнку 1. Малюнок 2 є контурною діаграмою потенційної енергії дисоціації на поверхні. Чисельні значення представляють потенційну енергію в одиницях kJ на моль  $\text{H}_2$ . Суцільний інтервал становить  $20 \text{ kJ mol}^{-1}$ , штриховий інтервал становить  $100 \text{ kJ mol}^{-1}$ , а інтервал між суцільними та пунктирними лініями становить  $80 \text{ kJ mol}^{-1}$ . Енергія нульових коливань ігнорується.



Малюнок 1. Визначення змінних. Зображення без врахування масштабу.



Малюнок 2.

- A.1** Для кожного з наступних пунктів (i) - (iii) **оберіть** найближче значення з А - Г. 6pt
- (i) Міжатомна відстань для газоподібної молекули  $H_2$   
(ii) Міжатомна відстань між атомами металу ( $d_M$  на малюнку 1)  
(iii) Відстань між адсорбованими атомами Н на поверхні ( $h_{ad}$  на малюнку 1)

A. 0.03 nm    B. 0.07 nm    C. 0.11 nm    D. 0.15 nm  
E. 0.19 nm    F. 0.23 nm    G. 0.27 nm

- A.2** Для кожного з наступних пунктів (i)-(ii) **оберіть** найближче значення з А-Н. 4pt
- (i) Енергія, необхідна для дисоціації газоподібного  $H_2$  до газоподібного Н [ $H_2(g) \rightarrow 2H(g)$ ]  
(ii) Енергія, що виділяється під час адсорбції газоподібного  $H_2$  [ $H_2(g) \rightarrow 2H(ad)$ ]

A. 20 kJ mol<sup>-1</sup>    B. 40 kJ mol<sup>-1</sup>    C. 60 kJ mol<sup>-1</sup>    D. 100 kJ mol<sup>-1</sup>  
E. 150 kJ mol<sup>-1</sup>    F. 200 kJ mol<sup>-1</sup>    G. 300 kJ mol<sup>-1</sup>    H. 400 kJ mol<sup>-1</sup>

## Частина В

Потім адсорбовані атоми водню або поглинаються об'ємом металу, або рекомбінують і десорбуються назад у газову фазу, як показано в реакціях (1a) та (1b). Н (ab) являє собою атом водню, поглинутий об'ємом металу.



Швидкості реакцій на один активний центр поверхні для адсорбції, десорбції та абсорбції позначаються, відповідно, як  $r_1[\text{s}^{-1}]$ ,  $r_2[\text{s}^{-1}]$  та  $r_3[\text{s}^{-1}]$ . Вони виражаються як:

$$r_1 = k_1 P_{\text{H}_2} (1 - \theta)^2 \quad (2)$$

$$r_2 = k_2 \theta^2 \quad (3)$$

$$r_3 = k_3 \theta \quad (4)$$

де  $k_1 [\text{s}^{-1} \text{Pa}^{-1}]$ ,  $k_2 [\text{s}^{-1}]$  та  $k_3 [\text{s}^{-1}]$  - це константи швидкості та  $P_{\text{H}_2}$  тиск  $\text{H}_2$ . Серед активних центрів, доступних на поверхні,  $\theta$  ( $0 \leq \theta \leq 1$ ) - це частка зайнята атомами Н. Вважається, що адсорбція та десорбція швидкі порівняно з абсорбцією ( $r_1, r_2 \gg r_3$ ) та  $\theta$  залишається постійною.

**В.1**  $r_3$  можна виразити як:

5pt

$$r_3 = \frac{k_3}{1 + \sqrt{\frac{1}{P_{\text{H}_2} C}}} \quad (5)$$

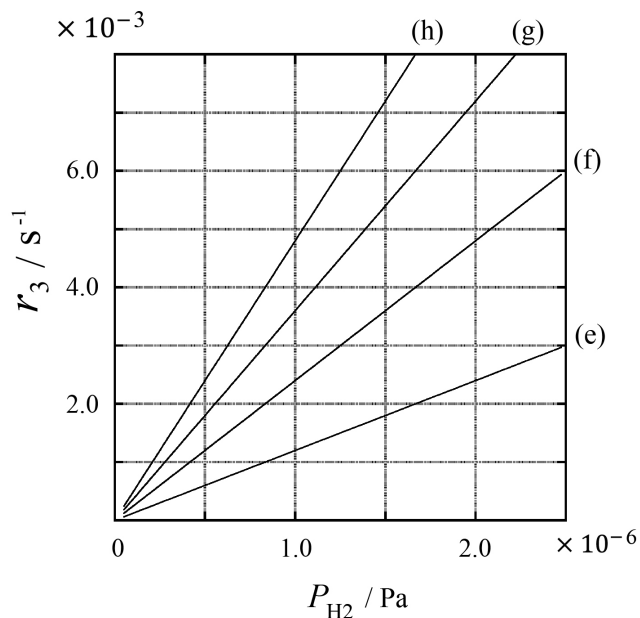
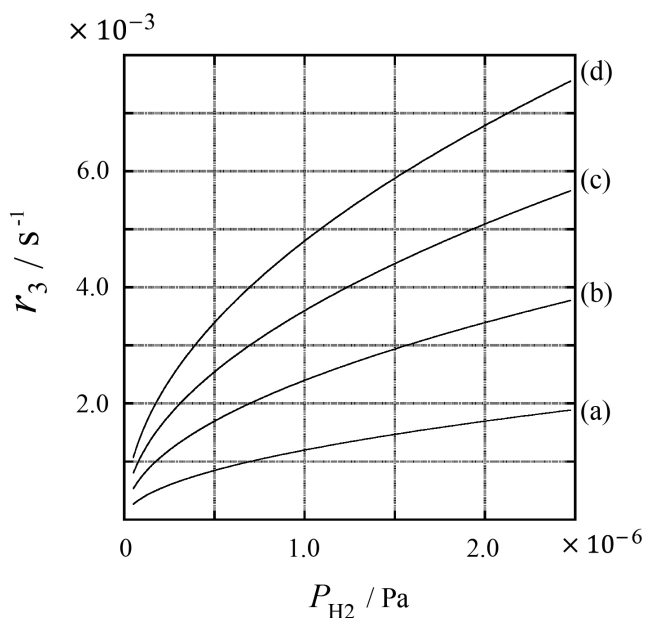
Виразіть  $C$  через  $k_1$  та  $k_2$ .

Зразок металу з площею поверхні  $S = 1.0 \times 10^{-3} \text{ m}^2$  помістили в контейнер ( $1\text{L} = 1.0 \times 10^{-3} \text{ m}^3$ ) з  $\text{H}_2$  ( $P_{\text{H}_2} = 1.0 \times 10^2 \text{ Pa}$ ). Щільність активних центрів адсорбції атомів водню на поверхні складала  $N = 1.3 \times 10^{18} \text{ m}^{-2}$ . Температура поверхні підтримувалась  $T = 400 \text{ K}$ . В процесі перебігу реакції (1),  $P_{\text{H}_2}$  зменшувалося зі сталою швидкістю  $v = 4.0 \times 10^{-4} \text{ Pa s}^{-1}$ . Вважайте  $\text{H}_2$  ідеальним газом та нехуйте об'ємом зразка металу.

**V.2** Розрахуйте кількість абсорбованих атомів Н у молях на одиницю площі поверхні за одиницю часу,  $A$  [ $\text{mol s}^{-1} \text{ m}^{-2}$ ]. 3pt

**V.3** При  $T = 400 \text{ K}$ ,  $C$  дорівнює  $1.0 \times 10^2 \text{ Pa}^{-1}$ . Розрахуйте значення  $k_3$  при 400 К. Якщо Ви не отримали відповіді у пункті **V.2**, використовуйте  $A = 3.6 \times 10^{-7} \text{ mol s}^{-1} \text{ m}^{-2}$ . 3pt

**V.4** Нижче наведено залежності  $r_3$  від  $P_{\text{H}_2}$  при різних  $T$ ,  $C = 2.5 \times 10^3 \text{ Pa}^{-1}$  та  $k_3 = 4.8 \times 10^{-2} \text{ s}^{-1}$ . Оберіть правильний графік з (a)–(h) для  $T = 400 \text{ K}$ . 3pt





UKR-4 C-1 A-1

**A1-1**  
Ukrainian (Ukraine)

## Водень на поверхні металу

### Частина А

**A.1** (6 pt)

(i)	(ii)	(iii)

**A.2** (4 pt)

(i)	(ii)





UKR-4 C-1 A-2

**A1-2**  
Ukrainian (Ukraine)

**Частина В**

**B.1** (5 pt)

$C =$  \_\_\_\_\_

**B.2** (3 pt)

$A =$  \_\_\_\_\_  $\text{mol s}^{-1} \text{m}^{-2}$



UKR-4 C-1 A-3

# A1-3

Ukrainian (Ukraine)

**B.3** (3 pt)

$$k_3 = \underline{\hspace{10em}} \text{ s}^{-1}$$

**B.4** (3 pt)

\_\_\_\_\_

UKR-4 C-2 C-1

**UKR-4 C-2 C**  
Daria Klymenko

**ICHO**  
**Problem 2**  
**Cover sheet**

Please return this cover sheet together with all the related question sheets.

## Ізотопна капсула часу

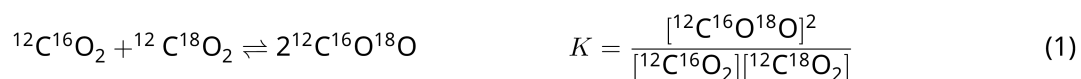
11 балів					
Питання	A.1	A.2	A.3	A.4	Сума
Очки	8	8	10	9	<b>35</b>
Оцінка					



Молекули, які відрізняються лише ізотопним складом, як-от  $\text{CH}_4$  та  $\text{CH}_3\text{D}$ , називаються ізотопологами. Вважають, що ізотопологи мають однакові хімічні властивості. Але насправді невелика різниця між ними існує.

Прийміть, що всі речовини, згадані в цій задачі, знаходяться в газовій фазі.

Розглянемо наступну рівновагу:



Ентропія  $S$  зростає зі збільшенням кількості мікростанів системи  $W$  :

$$S = k_B \ln W \quad (2)$$

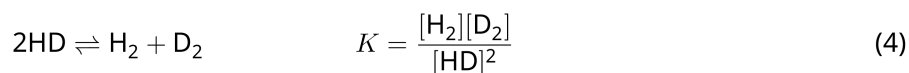
$W = 1$  для  $^{12}\text{C}^{16}\text{O}_2$  та  $^{12}\text{C}^{18}\text{O}_2$ . Натомість  $W = 2$  для молекули  $^{12}\text{C}^{16}\text{O}^{18}\text{O}$ , оскільки в цій молекулі атоми кисню не однакові. У правій частині рівняння рівноваги (1) вказано дві молекули  $^{12}\text{C}^{16}\text{O}^{18}\text{O}$ , отже  $W = 2^2 = 4$ .

**A.1** Зміна ентальпії  $\Delta H$  в реакції за рівнянням (3) позитивна незалежно від температури. 8pt



**Обчисліть** значення константи рівноваги  $K$  для рівняння (3) при дуже низькій ( $T \rightarrow 0$ ) та дуже високій ( $T \rightarrow +\infty$ ) температурах. Прийміть, що за всіх температур реакція відповідає рівнянню (3) та  $\Delta H$  виходить на сталі значення при високих температурах.

Значення  $\Delta H$  наступного процесу можна пояснити молекулярними коливаннями.



При  $T = 0$  К енергія коливань двоатомної молекули із частотою коливань  $\nu$ ,  $\text{с}^{-1}$ , виражається так:

$$E = \frac{1}{2} h\nu \quad (5)$$

$$\nu = \frac{1}{2\pi} \sqrt{\frac{k}{\mu}} \quad (6)$$

Тут  $k$  – силова константа, а  $\mu$  – зведена маса, яка виражається через маси атомів двоатомної молекули,  $m_1$  та  $m_2$ , як:

$$\mu = \frac{m_1 m_2}{m_1 + m_2} \quad (7)$$

**A.2** Молекулярне коливання  $\text{H}_2$  проявляється при  $4161.0 \text{ см}^{-1}$ , якщо виразити енергію в обернених сантиметрах. **Обчисліть** значення  $\Delta H$  наступної реакції при  $T = 0$  К в одиницях Дж·моль $^{-1}$ . 8pt



Прийміть, що:

- до  $\Delta H$  робить внесок лише коливальна енергія.
- значення  $k$  для  $\text{H}_2$ ,  $\text{HD}$ , та  $\text{D}_2$  є однаковими.
- маса  $\text{H}$  складає 1 Da, маса  $\text{D}$  складає 2 Da.



UKR-4 C-2 Q-3

# Q2-3

Ukrainian (Ukraine)

Молярні частки  $\text{H}_2$ , HD, та  $\text{D}_2$  в рівноважному стані системи залежать від температури. Позначимо зміну молярної частки речовини  $\text{D}_2$  як  $\Delta_{\text{D}_2}$ .

$$\Delta_{\text{D}_2} = \frac{R_{\text{D}_2}}{R_{\text{D}_2}^*} - 1 \quad (9)$$

Тут через  $R_{\text{D}_2}$  позначене відношення  $\frac{[\text{D}_2]}{[\text{H}_2]}$  у зразку, а через  $R_{\text{D}_2}^*$  - відношення  $\frac{[\text{D}_2]}{[\text{H}_2]}$  при  $T \rightarrow +\infty$ . Слід зазначити, що розподіл ізотопів при  $T \rightarrow +\infty$  стає статистично випадковим.

**A.3**    **Обчислити**  $\Delta_{\text{D}_2}$  для природного вмісту D в гідрогені для рівноваги ізотопного обміну, встановленій при такій температурі, за якої  $K$  в рівнянні (4) набуває значення 0.300. Прийміть, що природний вміст D та H становить, відповідно,  $1.5576 \times 10^{-4}$  та  $1 - 1.5576 \times 10^{-4}$ .    10pt

Загалом молярна частка двічі заміщеного ізотополога, що містить два атоми важкого ізотопу в молекулі, зростає зі зменшенням температури. Розглянемо молярні частки молекул  $\text{CO}_2$  із молекулярними масами 44 та 47, позначимо їх нижче як  $\text{CO}_2[44]$  та  $\text{CO}_2[47]$ . Величину  $\Delta_{47}$  визначимо як:

$$\Delta_{47} = \frac{R_{47}}{R_{47}^*} - 1 \quad (10)$$

$R_{47}$  відповідає відношенню  $\frac{[\text{CO}_2[47]]}{[\text{CO}_2[44]]}$  у зразку, а  $R_{47}^*$  - відношенню  $\frac{[\text{CO}_2[47]]}{[\text{CO}_2[44]]}$  при  $T \rightarrow +\infty$ . Природний вміст атомів карбону та кисню вказано нижче. Ізотопами, не згаданими тут, знехтуйте.

	$^{12}\text{C}$	$^{13}\text{C}$
природний вміст	0.988888	0.011112

	$^{16}\text{O}$	$^{17}\text{O}$	$^{18}\text{O}$
природний вміст	0.997621	0.0003790	0.0020000

Температурна залежність  $\Delta_{47}$  (для абсолютної температури  $T$ , вказаної в  $K$ ) виглядає так:

$$\Delta_{47} = \frac{36.2}{T^2} + 2.920 \times 10^{-4} \quad (11)$$

**A.4** Значення  $R_{47}$  для викопного планктону, добутого з морського дна в Антарктиці, складає  $4.50865 \times 10^{-5}$ . **Оцініть** температуру, виходячи з цього значення  $R_{47}$ . Ця температура трактується як температура повітря в ту еру, коли цей планктон жив. При обчисленні візьміть до уваги лише найпоширеніший ізотополог  $\text{CO}_2[47]$ . 9pt



UKR-4 C-2 A-1

**A2-1**  
Ukrainian (Ukraine)

## Ізотопна капсула часу

**A.1** (8 pt)

$T \rightarrow 0 : K =$  \_\_\_\_\_ ,  $T \rightarrow +\infty : K =$  \_\_\_\_\_

**A.2** (8 pt)

$\Delta H =$  ..... Дж моль<sup>-1</sup>





UKR-4 C-2 A-2

**A2-2**  
Ukrainian (Ukraine)

---



UKR-4 C-2 A-3

# A2-3

Ukrainian (Ukraine)

**A.3** (10 pt)

$\Delta_{D_2} =$  \_\_\_\_\_



UKR-4 C-2 A-4

**A2-4**  
Ukrainian (Ukraine)

**A.4** (9 pt)

$T =$  \_\_\_\_\_  $K$

UKR-4 C-3 C-1

**UKR-4 C-3 C**  
Daria Klymenko

**IChO**  
**Problem 3**  
**Cover sheet**

Please return this cover sheet together with all the related question sheets.

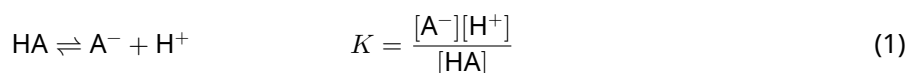
## Закон Бугера -Ламберта-Бера?

8 балів				
Питання	A.1	B.1	B.2	Сума
Очки	10	6	6	<b>22</b>
Оцінка				

В даній задачі ігноруйте поглинання комірки та розчинника. Температура всіх розчинів та газів є сталою та складає 25 °С.

### Частина А

Водний розчин **X** приготували з використанням  $\text{HA}$  та  $\text{NaA}$ . Концентрації  $[\text{A}^-]$ ,  $[\text{HA}]$  та  $[\text{H}^+]$  у розчині **X** складають, відповідно,  $1.00 \times 10^{-2} \text{ mol L}^{-1}$ ,  $1.00 \times 10^{-3} \text{ mol L}^{-1}$  та  $1.00 \times 10^{-4} \text{ mol L}^{-1}$ , що корелює з такою кислотно-основною рівновагою:



У частині А довжина оптичного шляху складає  $l$ . Ігноруйте зміну густини при розбавленні. Вважайте, що жодних хімічних реакцій, крім рівняння 1, не відбувається.

- A.1** Поглинання **X** при довжині хвилі  $\lambda_1$  склало  $A_1$ . Потім розчин **X** розбавили вдвічі розчином хлоридної кислоти з  $\text{pH} = 2.500$ . Після розбавлення поглинання при  $\lambda_1$  залишилося  $A_1$ . **Визначте** співвідношення  $\varepsilon_{\text{HA}}/\varepsilon_{\text{A}^-}$ , де  $\varepsilon_{\text{HA}}$  та  $\varepsilon_{\text{A}^-}$  є відповідними молярними коефіцієнтами поглинання  $\text{HA}$  та  $\text{A}^-$  при  $\lambda_1$ . 10pt

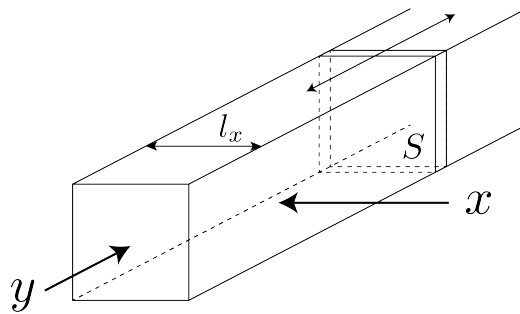
**Частина В**

Розглянемо наступну рівновагу в газовій фазі.

$$D \rightleftharpoons 2M \quad (2)$$

Кубоподібний контейнер, який має прозору рухому стінку з перетином  $S$  (див. Малюнок нижче), заповнили чистим газом  $D$  під тиском  $P$ . Рівновага встановлюється при постійному загальному тиску  $P$ .

Поглинання газу виражається як  $A = \varepsilon(n/V)l$ , де  $\varepsilon$ ,  $n$ ,  $V$ , та  $l$  - це, відповідно, молярний коефіцієнт поглинання, кількість газу в молях, об'єм газу та довжина оптичного шляху. Вважайте, що всі компоненти газової суміші поведуться як ідеальні гази.



За потреби, використовуйте наступні позначення.

	Початковий стан		Рівноважний стан	
	D	M	D	M
Парціальний тиск	$P$	0	$p_D$	$p_M$
Кількість в молях	$n_0$	0	$n_D$	$n_M$
Об'єм	$V_0$		$V$	

**В.1** Поглинання газу при  $\lambda_{B1}$ , що виміряли за напрямком  $x$  ( $l = l_x$ ), складало  $A_{B1}$  брт як в початковому, так і в рівноважному станах. **Визначте** співвідношення  $\varepsilon_D/\varepsilon_M$  при  $\lambda_{B1}$ , де  $\varepsilon_D$  та  $\varepsilon_M$  є відповідними молярними коефіцієнтами поглинання D та M.

**В.2** Поглинання газу при  $\lambda_{B2}$ , що виміряли за напрямком  $y$ , складало  $A_{B2}$  як в початковому ( $l = l_{y0}$ ), так і в рівноважному ( $l = l_y$ ), станах. **Визначте** співвідношення  $\varepsilon_D/\varepsilon_M$  при  $\lambda_{B2}$ .



UKR-4 C-3 A-1

**A3-1**  
Ukrainian (Ukraine)

## Закон Бугера-Ламберта-Бера?

### Частина А

**A.1** (10 pt)

(продовження на наступній сторінці)



UKR-4 C-3 A-2

**A3-2**  
Ukrainian (Ukraine)

A.1 (cont.)

$\epsilon_{\text{HA}}/\epsilon_{\text{A}^-} =$   
\_\_\_\_\_





UKR-4 C-3 A-3

**A3-3**  
Ukrainian (Ukraine)

**Частина В**

**B.1** (6 pt)

$\epsilon_D/\epsilon_M =$  \_\_\_\_\_



UKR-4 C-3 A-4

**A3-4**  
Ukrainian (Ukraine)

**B.2** (6 pt)

$\epsilon_D/\epsilon_M =$   
\_\_\_\_\_

UKR-4 C-4 C-1

**UKR-4 C-4 C**  
Daria Klymenko

**IChO**  
**Problem 4**  
**Cover sheet**

Please return this cover sheet together with all the related question sheets.

## Редокс-хімія цинку

11 балів							
Питання	A.1	A.2	B.1	B.2	B.3	B.4	Сума
Очки	6	5	4	3	5	9	<b>32</b>
Оцінка							



Протягом тривалого часу цинк використовували як складову матеріалів – латуні та металевих виробів. Для знешкодження промислових стічних вод цинк, який міститься в них, відокремлюють шляхом осадження, а одержаний осад відновлюють для відділення і повторного використання у вигляді металічного цинку.

### Частина А

Рівновага при розчиненні гідроксиду цинку  $\text{Zn(OH)}_2(\text{s})$  при  $25^\circ\text{C}$ , та відповідні константи рівноваги представлено рівняннями 1-4.



Розчинність цинку  $S$  (концентрація цинку в насиченому водному розчині) представлена рівнянням 5.

$$S = [\text{Zn}^{2+}(\text{aq})] + [\text{Zn}(\text{OH})_2(\text{aq})] + [\text{Zn}(\text{OH})_4^{2-}(\text{aq})] \quad (5)$$

**A.1** Після встановлення рівноваги в рівняннях 1-4, **розрахуйте** діапазон рН, в якому  $[\text{Zn}(\text{OH})_2(\text{aq})]$  має найбільше значення серед  $[\text{Zn}^{2+}(\text{aq})]$ ,  $[\text{Zn}(\text{OH})_2(\text{aq})]$  і  $[\text{Zn}(\text{OH})_4^{2-}(\text{aq})]$ . 6pt

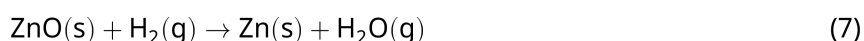
**A.2** Приготували насичений водний розчин  $\text{Zn}(\text{OH})_2(\text{s})$  з рН = 7.00, розчин відфільтрували. До фільтрату додали NaOH для підвищення рН до 12.00. **Розрахуйте** частку (мольний %) цинку, який випадає в осад при підвищенні рН від 7.00 до 12.00. Знехтуйте зміною об'єму і температури. 5pt

## Частина В

В подальшому виділений гідроксид цинку нагрівають для одержання оксиду цинку відповідно до наведеного нижче рівняння:

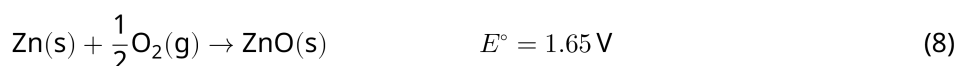


Після цього оксид цинку відновлюють до металічного цинку в реакції з воднем:



**B.1** Для того, щоб реакція (7) проходила при тиску водню, який підтримується на рівні 1 бар, потрібно зменшити парціальний тиск водяної пари, що утворюється. **Розрахуйте** верхню межу парціального тиску водяної пари для того, щоб реакція (7) проходила при 300 °С. В цьому випадку енергії Гіббса утворення оксиду цинку і водяної пари при 300 °С і 1 бар усіх газуватих речовин відповідно становлять  $\Delta G_{\text{ZnO}}(300^\circ\text{C}) = -2.90 \times 10^2 \text{ кДж моль}^{-1}$  та  $\Delta G_{\text{H}_2\text{O}}(300^\circ\text{C}) = -2.20 \times 10^2 \text{ кДж моль}^{-1}$ . 4pt

Металічний цинк використовується як матеріал негативного електроду (аноду) в метал-повітряних батареях. Електрод складається з Zn та ZnO. Для вироблення електрики з електрорушійною силою (е.р.с.)  $E^\circ$  при 25 °С і тиску 1 бар, в ньому використовується наступна редокс-реакція.



**B.2** Цинк-повітряну батарею розрядили при 20 мА протягом 24 годин. **Розрахуйте** зміну маси негативного електроду (аноду) батареї. 3pt



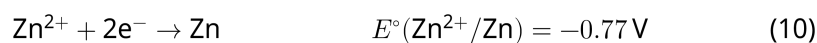
Гора Fuji

- B.3** Розглянемо зміну е.р.с. цинк-повітряної батареї в залежності від середовища. **Розрахуйте** е.р.с. на вершині гори Fuji на висоті 3776 м, де температура у лютому становила  $-38\text{ }^\circ\text{C}$ . Атмосферний тиск для певної висоти  $h$  [m] та температури  $T$  [ $^\circ\text{C}$ ] розраховується за рівнянням: 5pt

$$P [\text{bar}] = 1.013 \times \left( 1 - \frac{0.0065h}{T + 0.0065h + 273.15} \right)^{5.257} \quad (9)$$

Мольна частка кисню в атмосфері становить 21 %. Зміна енергії Гіббса в реакції (8) дорівнює  $\Delta G_{ZnO}(-38\text{ }^\circ\text{C}) = -3.26 \times 10^2 \text{ кДж моль}^{-1}$  при  $-38\text{ }^\circ\text{C}$  і 1 бар.

- B.4** **Розрахуйте** зміну енергії Гіббса в реакції (6) при  $25\text{ }^\circ\text{C}$ . Прийміть до уваги, що стандартні потенціали відновлення,  $E^\circ(\text{Zn}^{2+}/\text{Zn})$  і  $E^\circ(\text{O}_2/\text{H}_2\text{O})$  при  $25\text{ }^\circ\text{C}$  і 1 бар розраховуються за рівняннями (10) і (11), відповідно. 9pt





UKR-4 C-4 A-1

**A4-1**  
Ukrainian (Ukraine)

## Редокс-хімія цинку

### Частина А

**A.1** (6 pt)

\_\_\_\_\_ < pH < \_\_\_\_\_



UKR-4 C-4 A-2

**A4-2**  
Ukrainian (Ukraine)

**A.2** (5 pt)

\_\_\_\_\_ %





UKR-4 C-4 A-3

**A4-3**  
Ukrainian (Ukraine)

**Частина В**

**В.1** (4 pt)

$p_{H_2O} = \dots\dots\dots$  Бар

**В.2** (3 pt)

Зміна маси аноду = ..... г



UKR-4 C-4 A-4

**A4-4**  
Ukrainian (Ukraine)

**B.3** (5 pt)

e.p.c. = .....**B**



UKR-4 C-4 A-5

**A4-5**  
Ukrainian (Ukraine)

**B.4** (9 pt)

$\Delta G^\circ =$  \_\_\_\_\_  $\text{J mol}^{-1}$

UKR-4 C-5 C-1

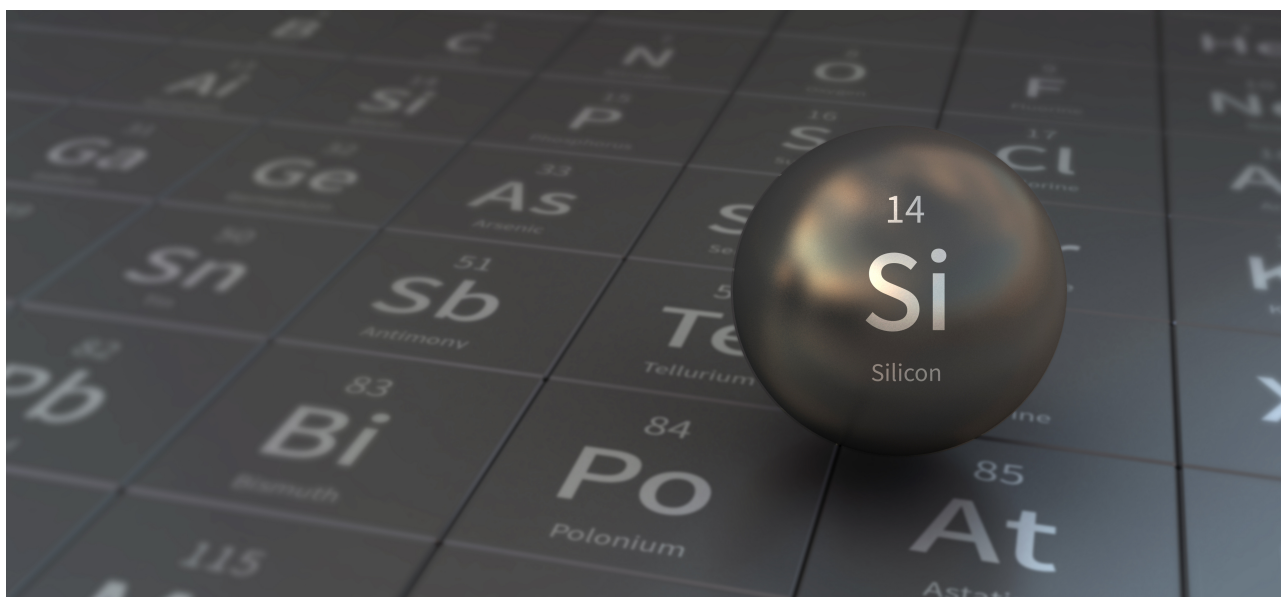
**UKR-4 C-5 C**  
Daria Klymenko

**IChO**  
**Problem 5**  
**Cover sheet**

Please return this cover sheet together with all the related question sheets.

## Загадковий Силіцій

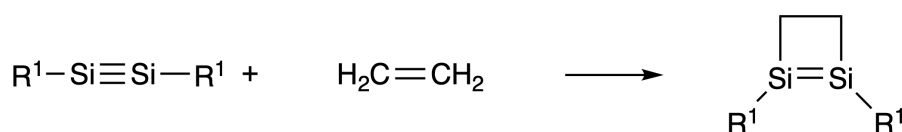
12 балів								
Питання	A.1	A.2	A.3	A.4	B.1	B.2	B.3	Сума
Очки	9	7	6	10	5	15	8	<b>60</b>
Оцінка								



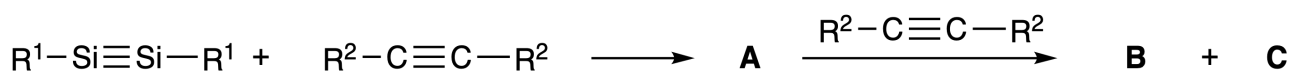
Хоча силіцій, як і карбон, також є елементом 14-ї групи, їх властивості суттєво відрізняються.

### Частина А

На відміну від потрійного зв'язку карбон-карбон, потрійний зв'язок силіцій-силіцій у сполучі, із загальною формулою  $R^1-Si \equiv Si-R^1$  (R: органічний замісник) надзвичайно реакційноздатний. Наприклад, в реакції з етиленом він утворює циклічний продукт, що містить чотиричленний цикл.



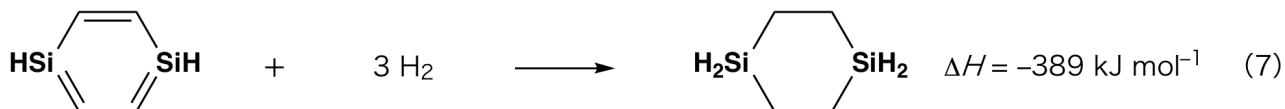
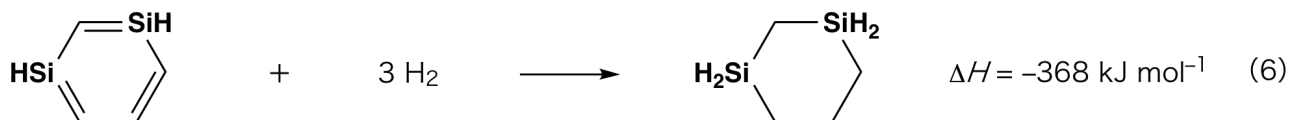
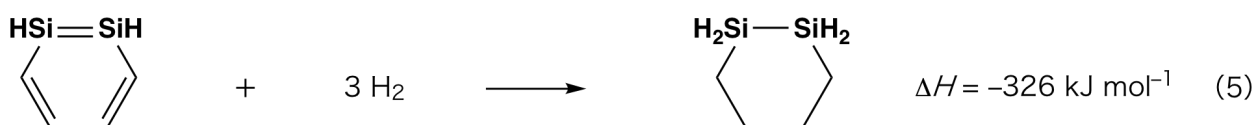
При обробці сполуки  $R^1-Si \equiv Si-R^1$  алкіном  $R^2-C \equiv C-R^2$  як початковий проміжний продукт утворюється чотиричленна циклічна сполука **A**. Подальша реакція іншої молекули  $R^2-C \equiv C-R^2$  з **A** дає ізомери **B** і **C**. Обидва мають бензеноподібні циклічні спряжені структури так званих "дисилабензенів", що містять шестичленний цикл і відповідають загальній формулі  $(R^1-Si)_2(R^2-C)_4$ .



Аналіз спектрів ЯМР  $^{13}C$  відповідних шестичленних циклічних скелетів  $Si_2C_4$  вказує на наявність двох сигналів для **B** та одного сигналу для **C**.

**A.1** Намалюйте структурні формули сполук **A**, **B** та **C** у вигляді однієї з можливих резонансних структур, використовуючи позначення  $R^1$ ,  $R^2$ , Si та C. 9pt

**A.2** Розрахуйте енергію ароматичної стабілізації (ASE) для бензену та сполуки **C** (для випадку  $R^1 = R^2 = H$ ) у вигляді позитивних значень, враховуючи зміну ентальпії в деяких реакціях гідрування ненасичених систем, наведених нижче (малюнок 1). 7pt



Малюнок 1.

При нагріванні розчину сполуки **C** у ксилени вона ізомеризується з утворенням рівноважної суміші сполук **D** та **E**. Молярне співвідношення **D** : **E** = 1 : 40.0 при 50.0 °C, та **D** : **E** = 1 : 20.0 при 120.0 °C.

**A.3 Розрахуйте**  $\Delta H$  для перетворення **D** у **E**. Вважайте, що  $\Delta H$  не залежить від температури. 6pt

Ізомеризація сполуки **C** в **D** і далі в **E** відбувається шляхом перетворення  $\pi$ -зв'язків у  $\sigma$ -зв'язки без розриву будь-яких  $\sigma$ -зв'язків. Аналіз спектрів ЯМР  $^{13}\text{C}$  виявив один сигнал для скелета  $\text{Si}_2\text{C}_4$  сполуки **D** та два сигнали для скелета  $\text{Si}_2\text{C}_4$  сполуки **E**. Скелет **D** не містить жодного тричленного циклу, тоді як **E** включає два тричленних цикли, що мають спільне ребро.

**A.4 Намалюйте** структурні формули сполук **D** та **E**, використовуючи позначення  $\text{R}^1$ ,  $\text{R}^2$ , Si, та C. 10pt

## Частина В

Силіцій здатний утворювати висококоординовані сполуки (більше чотирьох замісників) із електро-негативними елементами, такими як флуор. Оскільки флуориди металів часто використовуються як флуоруючі реагенти, флуориди висококоординованого силіцію також є флуоруючими реагентами.

Реакцію флуорування  $\text{CCl}_4$  з використанням  $\text{Na}_2\text{SiF}_6$  проводили наступним чином.

• **Стандартизація розчину  $\text{Na}_2\text{SiF}_6$  :**

• Приготування

Водний розчин **F**: 0.855 г  $\text{Na}_2\text{SiF}_6$  ( $188.053 \text{ г моль}^{-1}$ ) розчинили у воді, загальний об'єм склав 200 мл.

Водний розчин **G**: 6.86 г  $\text{Ce}_2(\text{SO}_4)_3$  ( $568,424 \text{ г моль}^{-1}$ ) розчинили у воді, загальний об'єм склав 200 мл.

• Процедура

Осаджувальне титрування розчину **F** (50.0 мл) проводили шляхом додавання по краплях розчину **G** у присутності індикатора ксиленолу помаранчевого, який координує  $\text{Ce}^{3+}$ . Після додавання 18.8 мл розчину **G** колір розчину змінюється з жовтого на пурпуровий. Утворений осад є бінарною сполукою, яка містить  $\text{Ce}^{3+}$ , а єдиною сполукою силіцію, що утворюється, є  $\text{Si}(\text{OH})_4$ .

**B.1 Напишіть** урівняне рівняння реакції  $\text{Na}_2\text{SiF}_6$  з  $\text{Ce}_2(\text{SO}_4)_3$ . 5pt

• **Реакція  $\text{CCl}_4$  з  $\text{Na}_2\text{SiF}_6$ :**

(Знехтуйте втратами речовини під час наступних операцій, наприклад, за рахунок випаровування.)

$\text{Na}_2\text{SiF}_6$  ( $x$  г) додавали до  $\text{CCl}_4$  (500.0 г) і нагрівали до 300 °C в герметично закритій, стійкій до тиску реакційній посудині.  $\text{Na}_2\text{SiF}_6$ , що не прореагував, і утворений  $\text{NaCl}$  відділяли фільтруванням. Фільтрат розбавляли до загального об'єму 1.00 л додаванням  $\text{CCl}_4$  (розчин **H**). Спектри ЯМР  $^{29}\text{Si}$  та  $^{19}\text{F}$  розчину **H** показали, що він містить єдину сполуку силіцію -  $\text{SiF}_4$ . У спектрі ЯМР  $^{19}\text{F}$ , крім  $\text{SiF}_4$ , були присутні сигнали, що відповідають  $\text{CFCl}_3$ ,  $\text{CF}_2\text{Cl}_2$ ,  $\text{CF}_3\text{Cl}$  та  $\text{CF}_4$  (див. Таблицю 1). Інтегральні інтенсивності в спектрі ЯМР  $^{19}\text{F}$  пропорційні кількості ядер флуору.

Таблиця 1

Дані спектра ЯМР $^{19}\text{F}$	$\text{CFCl}_3$	$\text{CF}_2\text{Cl}_2$	$\text{CF}_3\text{Cl}$	$\text{CF}_4$
Відносна інтегральна інтенсивність	45.0	65.0	18.0	2.0

$\text{SiF}_4$  гідролізує з утворенням  $\text{H}_2\text{SiF}_6$  згідно з наведеним нижче рівнянням (8):



Розчин **H** (10 мл) обробляли надлишком води, що привело до повного гідролізу  $\text{SiF}_4$ . Після розділення, водний розчин  $\text{H}_2\text{SiF}_6$ , що утворився в результаті гідролізу, нейтралізували з утворенням розчину  $\text{Na}_2\text{SiF}_6$  (водний розчин **J**).

Осад  $\text{Na}_2\text{SiF}_6$ , що не прореагував, та  $\text{NaCl}$ , які відділили фільтруванням на початковому етапі (підкреслено в тексті вище), повністю розчинили у воді з отриманням водного розчину (розчин **K**; 10.0 л).

Далі проводили наступні осаджувальні титрування розчином **G**. Кінцеві точки титрування з використанням **G** були наступними:

- Для розчину **J** (загальна кількість): 61.6 мл.
- Для 100 мл розчину **K**: 44.4 мл.

Тут варто зазначити, що присутність  $\text{NaCl}$  або  $\text{SiO}_2$  не впливає на результат осаджувального титрування.

**B.2** **Розрахуйте** масу  $\text{NaCl}$ , що утворюється в реакційній посудині (див. підкреслену інформацію вище), та **розрахуйте** вихідну масу ( $x$  г)  $\text{Na}_2\text{SiF}_6$ . 15pt

**B.3** 77.8%  $\text{CCl}_4$ , що використовується як вихідний матеріал, не прореагувало. **Розрахуйте** масу утвореного  $\text{CF}_3\text{Cl}$ . 8pt





UKR-4 C-5 A-1

**A5-1**  
Ukrainian (Ukraine)

## Загадковий Силіцій

### Частина А

**A.1** (9 pt)

**A** (3 pt)

**B** (3 pt)

**C** (3 pt)

**A.2** (7 pt)

$C_6H_6$  : \_\_\_\_\_  $kJ\ mol^{-1}$ , **C** : \_\_\_\_\_  $kJ\ mol^{-1}$



UKR-4 C-5 A-2

# A5-2

Ukrainian (Ukraine)

**A.3** (6 pt)

$\Delta H =$  \_\_\_\_\_  $\text{kJ mol}^{-1}$

**A.4** (10 pt)

**D** (5 pt)

**E** (5 pt)



UKR-4 C-5 A-3

**A5-3**  
Ukrainian (Ukraine)

**Частина В**

**B.1** (5 pt)

---

**B.2** (15 pt)

(Продовження на наступній сторінці)



UKR-4 C-5 A-4

**A5-4**  
Ukrainian (Ukraine)

**B.2 (cont.)**

NaCl : \_\_\_\_\_ g, Na<sub>2</sub>SiF<sub>6</sub> : \_\_\_\_\_ g



UKR-4 C-5 A-5

**A5-5**  
Ukrainian (Ukraine)

**B.3** (8 pt)

$\text{CF}_3\text{Cl}$  : \_\_\_\_\_ g

UKR-4 C-6 C-1

**UKR-4 C-6 C**  
Daria Klymenko

**IChO**  
**Problem 6**  
**Cover sheet**

Please return this cover sheet together with all the related question sheets.

## Перехідні метали та хімія твердого тіла

13 балів											
Питання	A.1	A.2	A.3	B.1	B.2	B.3	B.4	C.1	C.2	C.3	Сума
Очки	6	3	3	6	4	4	4	5	5	5	<b>45</b>
Оцінка											



Вулкан на острові Sakurajima

### Частина А

Японія є однією з країн з найбільшою кількістю діючих вулканів в світі. При кристалізації силікатних мінералів з магматичного розтопу до їх складу включається частина іонів перехідних металів  $M^{n+}$ . Іони  $M^{n+}$ , які розглядаються в задачі, знаходяться в координаційному оточенні іонів кисню ( $O^{2-}$ ) і мають тетраедричне координаційне оточення ( $Td$ ) в розтопі та октаедричне ( $Oh$ ) в твердому силікаті. В обох випадках іони перехідних металів знаходяться в високоспіновому стані. Коефіцієнт розподілу  $M^{n+}$  між силікатом і розтопом ( $D$ ) визначається як:

$$D = \frac{[M]_s}{[M]_l}$$

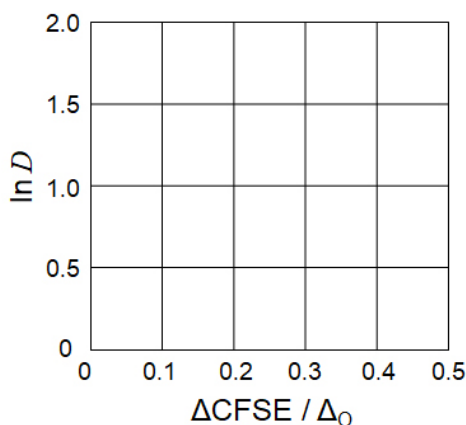
де  $[M]_s$  та  $[M]_l$  - концентрації іонів  $M^{n+}$ , відповідно, в силікаті та магмі. В таблиці нижче надано відповідні значення  $D$  для іонів  $Cr^{2+}$  та  $Mn^{2+}$ .

	$Cr^{2+}$	$Mn^{2+}$
$D$	7.2	1.1

Нехай  $\Delta_0$  - енергія розщеплення кристалічним полем d-орбіталей іону  $M^{n+}$ , а  $CFSE^O$  - енергія стабілізації кристалічним полем в октаедричному оточенні  $O_h$ , а  $\Delta_T$  та  $CFSE^T$  - відповідні величини для тетраедричного оточення  $T_d$ .

**A.1** **Розрахуйте**  $|CFSE^O - CFSE^T| = \Delta CFSE$  в одиницях  $\Delta_0$  для  $Cr^{2+}$ ,  $Mn^{2+}$  та  $Co^{2+}$ ; 6pt  
 вважайте, що  $\Delta_T = 4/9\Delta_0$ .

**A.2** Лінійне співвідношення залежності  $\ln D$  від  $\Delta CFSE/\Delta_0$  спостерігається в прямокутній системі координат. 3pt  
**Визначте**  $D$  для іону  $Co^{2+}$ .



Оксиди металів  $M^{n+}$  ( $MO$ ; де  $M$ : Ca, Ti, V, Mn або Co) кристалізуються у структурному типі хлориду натрію. Іони  $M^{n+}$  знаходяться в октаедричному координаційному оточенні  $O_h$  в високоспіновій конфігурації. Ентальпія кристалічної ґратки цих оксидів в першу чергу визначається кулонівською взаємодією, яка залежить від радіусу та заряду іонів. Певний внесок також має  $CFSE$  іонів  $M^{n+}$  в октаедричному полі  $O_h$ .

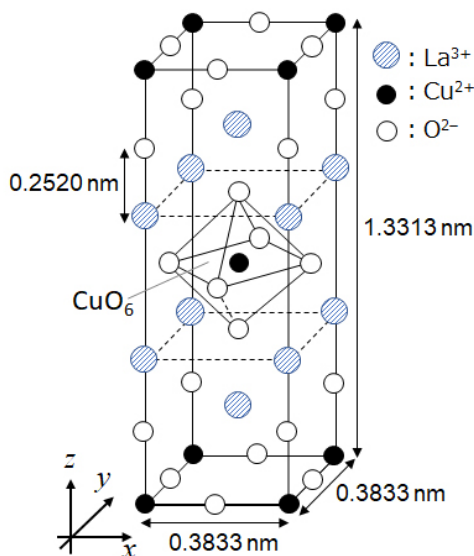
**A.3** **Оберіть** правильний набір значень (один із рядків (a) - (f) в таблиці) ентальпій кристалічних ґраток (в кДж/моль). 3pt

	CaO	TiO	VO	MnO	CoO
(a)	3460	3878	3913	3810	3916
(b)	3460	3916	3878	3810	3913
(c)	3460	3913	3916	3810	3878
(d)	3810	3878	3913	3460	3916
(e)	3810	3916	3878	3460	3913
(f)	3810	3913	3916	3460	3878



### Частина В

Змішаний оксид **A**, який містить  $\text{La}^{3+}$  та  $\text{Cu}^{2+}$ , має тетрагональну будову елементарної комірки, як зображено на малюнку 1. В октаедрі  $[\text{CuO}_6]$  довжини зв'язків  $\text{Cu-O}$  вздовж вісі  $z$  ( $l_z$ ) більші, ніж вздовж вісі  $x$  ( $l_x$ ), тобто відбувається викривлення геометрії  $[\text{CuO}_6]$  від октаедричної  $Oh$ . Таке викривлення знімає виродження  $e_g$  орбіталей ( $d_{x^2-y^2}$  та  $d_{z^2}$ ).



Малюнок 1.

Сполуку **A** можна отримати термічним розкладом (піролізом) комплексу **B**, який утворюється при змішуванні хлоридів металів з водним розчином амоніаку, що містить "квадратну" кислоту  $\text{C}_4\text{H}_2\text{O}_4$ , яка є двоосновною. Піроліз сполуки **B** в сухому повітрі до температури  $200^\circ\text{C}$  приводить до втрати 29.1% маси, яка пов'язана з втратою кристалізаційної води. Подальший нагрів приводить до втрати маси аж до  $700^\circ\text{C}$  завдяки виділенню  $\text{CO}_2$ . Загальна втрата маси при утворенні **A** з **B** складає 63.6%. Треба зазначити, що під час піролізу спостерігається виділення лише води та  $\text{CO}_2$ .

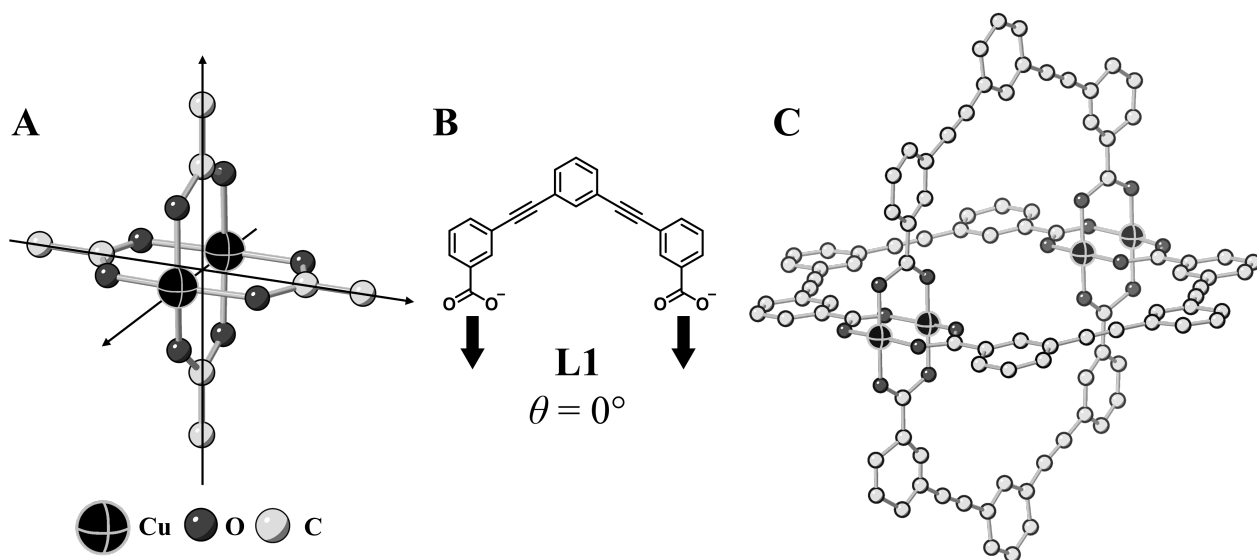
<b>V.1</b>	<b>Запишіть</b> хімічні формули сполук <b>A</b> та <b>B</b> .	6pt
<b>V.2</b>	<b>Розрахуйте</b> $l_x$ та $l_z$ відповідно до малюнку 1.	4pt
<b>V.3</b>	Відповідно до малюнку 1, в місцях, позначених (i) та (ii), <b>наведіть</b> назву розщеплених $e_g$ орбіталей ( $d_{x^2-y^2}$ та $d_{z^2}$ ) іону $\text{Cu}^{2+}$ в сполуці <b>A</b> та намалюйте відповідну електронну конфігурацію в пунктирному полі на вашому бланку відповідей.	4pt

Сполука **A** є ізолятором. Якщо один іон  $\text{La}^{3+}$  замінити одним іоном  $\text{Sr}^{2+}$ , в кристалічній ґратці відбувається утворення однієї «дірки» та вона стає електропровідною. Таким чином, сполука **A**, допована іонами  $\text{Sr}^{2+}$ , демонструє надпровідність за температури нижче 38 К. Допування сполуки **A** призвело до утворення  $2.05 \times 10^{27}$  «дірок» на  $\text{m}^3$  речовини.

**B.4** Виходячи з мольного співвідношення в реакції заміщення, **розрахуйте** 4pt відсоток заміщення іонів  $\text{La}^{3+}$  іонами  $\text{Sr}^{2+}$ . Прийміть до уваги, що під час реакції заміщення тип кристалічної ґратки та валентність іонів, які її складають, лишаються незмінними.

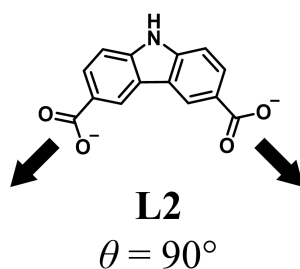
### Частина С

$\text{Cu}_2(\text{CH}_3\text{CO}_2)_4$  складається з чотирьох іонів  $\text{CH}_3\text{CO}_2^-$ , координованих до двох іонів  $\text{Cu}^{2+}$  (Малюнок 2A). Молекула  $\text{Cu}_2(\text{CH}_3\text{CO}_2)_4$  є високосиметричною структурою з двома вісями, які проходять крізь атоми карбону чотирьох іонів  $\text{CH}_3\text{CO}_2^-$  та віссю, яка проходить через два іони  $\text{Cu}^{2+}$ . Всі три вісі є взаємно ортогональними. Використання замість ацетатних лігандів дикарбоксилатів призводить до утворення комплексів зі структурою клітки («cage complex»). «Cage complex»  $\text{Cu}_4(\text{L1})_4$  утворюється при використанні як ліганда планарного дикарбоксилату **L1** (Малюнок 2B) та  $\text{Cu}^{2+}$  (Малюнок 2C). Структура «cage complex» визначається кутом  $\theta$  між напрямками координації двох карбоксильних груп в ліганді, як показано на малюнку 2B.  $\theta$  дорівнює  $0^\circ$  для ліганду **L1** (атоми гідрогену на малюнку 2 для спрощення не зображено).

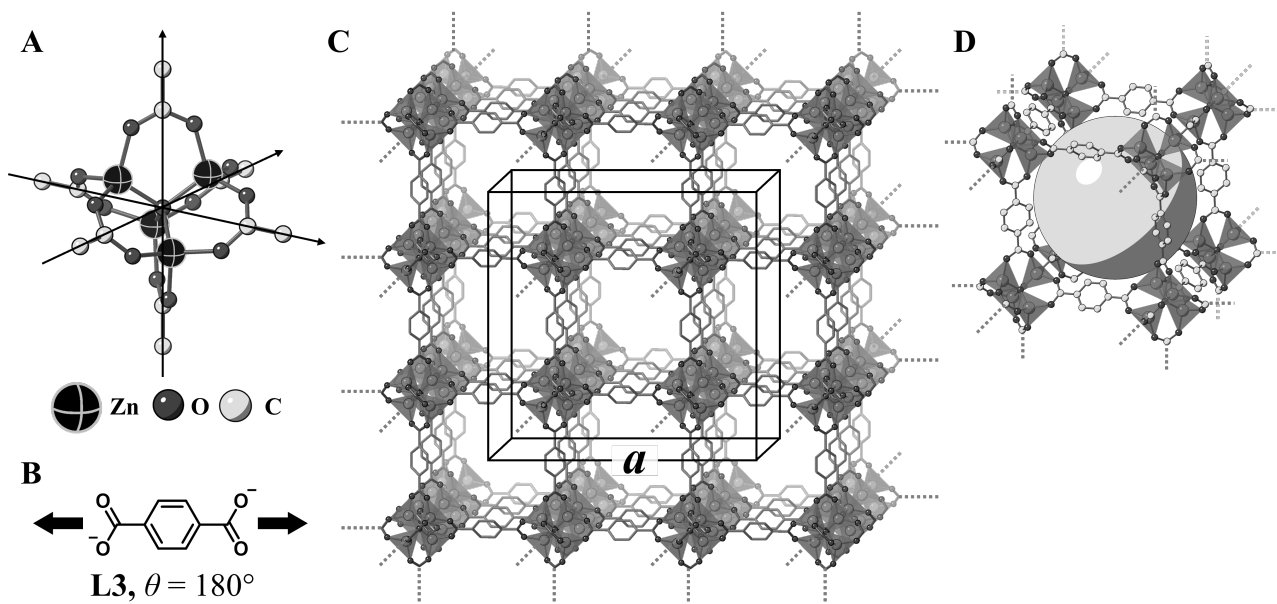


Малюнок 2.

- C.1 Значення  $\theta$  для планарного дикарбоксилатного ліганду **L2** на малюнку нижче складає  $90^\circ$ . Вважаючи, що склад «сage complex» **L2** з іоном  $\text{Cu}^{2+}$  визначається формулою  $\text{Cu}_n(\text{L2})_m$ , **визначте** найменшу комбінацію цілих  $n$  та  $m$  для такого комплексу. Вважайте, що в координації до іонів  $\text{Cu}^{2+}$  беруть участь лише  $\text{CO}_2^-$  групи ліганду **L2**. 5pt



Комплекс  $Zn_4O(CH_3CO_2)_6$  містить чотири іони  $Zn^{2+}$  в тетраедричному оточенні, шість ацетат-іонів  $CH_3CO_2^-$  та один іон  $O^{2-}$  (Малюнок 3А). В  $Zn_4O(CH_3CO_2)_6$  іон  $O^{2-}$  розташований в точці перетину трьох взаємно перпендикулярних вісей, які проходять через атоми карбону ацетат-іонів  $CH_3CO_2^-$ . Якщо замість ацетат-іону взяти п-бензендикарбоксилат (Малюнок 3В, **L3**,  $\theta = 180^\circ$ ) цинк-вмісні кластери зв'язуються між собою, утворюючи кристалічну сполуку **X**, яка називається «пористий координаційний полімер» (Малюнок 3С). Склад сполуки **X** відповідає формулі  $[Zn_4O(L3)_3]_n$ . **X** має кубічну будову кристалічної ґратки з нанорозмірними порами. Одна така пора показана як сфера на малюнку 3D. Кожен з тетраедричних кластерів цинку показаний як темно-сірий тетраедр (малюнки 3С та 3D) (атоми гідрогену на малюнку 3 для спрощення не зображено).



Малюнок 3.

**C.2** Сполука **X** має кубічну елементарну комірку з параметром  $a$  (Рисунок 3С) та густиною  $0.592 \text{ г см}^{-3}$ . Розрахуйте параметр  $a$  в [см]. 5pt

**C.3** **X** містить значну кількість пор. 1 г **X** може вмістити  $3.0 \times 10^2$  мл газоподібного  $CO_2$  при тиску в 1 бар та  $25^\circ C$ . **Розрахуйте** середню кількість молекул  $CO_2$ , які знаходяться в одній порі. 5pt



UKR-4 C-6 A-1

**A6-1**  
Ukrainian (Ukraine)

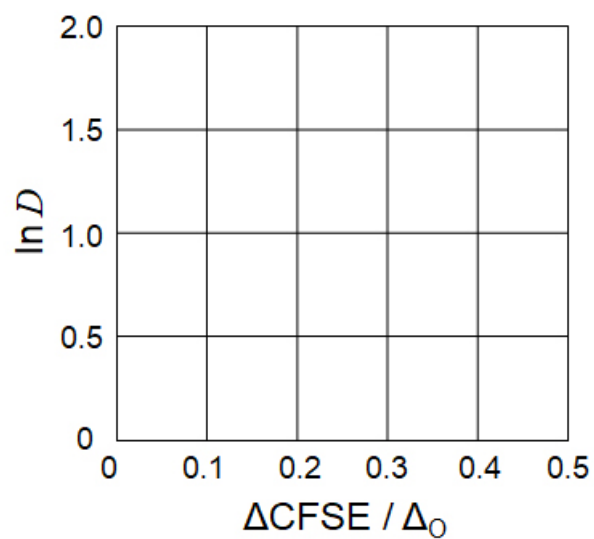
## Перехідні метали та хімія твердого тіла

### Частина А

**A.1** (6 pt)

$\text{Cr}^{2+}$  : \_\_\_\_\_  $\Delta_0$ ,  $\text{Mn}^{2+}$  : \_\_\_\_\_  $\Delta_0$ ,  $\text{Co}^{2+}$  : \_\_\_\_\_  $\Delta_0$

**A.2** (3 pt)



$D$ : \_\_\_\_\_

**A.3** (3 pt)

\_\_\_\_\_



UKR-4 C-6 A-3

**A6-3**  
Ukrainian (Ukraine)

**Частина В**

**B.1** (6 pt)

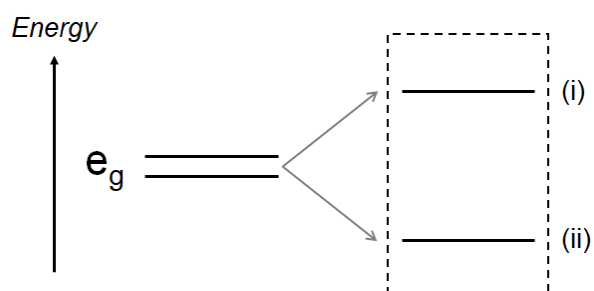
A: \_\_\_\_\_, B: \_\_\_\_\_

**B.2** (4 pt)

$l_x =$  \_\_\_\_\_ nm,  $l_z =$  \_\_\_\_\_ nm

**B.3** (4 pt)

(i) : \_\_\_\_\_ , (ii) : \_\_\_\_\_



**B.4** (4 pt)

\_\_\_\_\_ %





UKR-4 C-6 A-5

# A6-5

Ukrainian (Ukraine)

## Частина С

**C.1** (5 pt)

$n =$  \_\_\_\_\_,  $m =$  \_\_\_\_\_

**C.2** (5 pt)

$a =$ .....CM

**C.3** (5 pt)

Середня кількість молекул CO<sub>2</sub> = ..... шт/пору.  
\_\_\_\_\_

UKR-4 C-7 C-1

**UKR-4 C-7 C**  
Daria Klymenko

**ICHO**  
**Problem 7**  
**Cover sheet**

Please return this cover sheet together with all the related question sheets.

## Гра з небензоїдною ароматичністю

13 балів					
Питання	A.1	A.2	A.3	B.1	Сума
Очки	5	2	19	10	<b>36</b>
Оцінка					

Професор Нозое (1902–1996) - винахідник явища небензеноїдної ароматичності, що на сьогодні є широко розповсюдженим в органічній хімії.



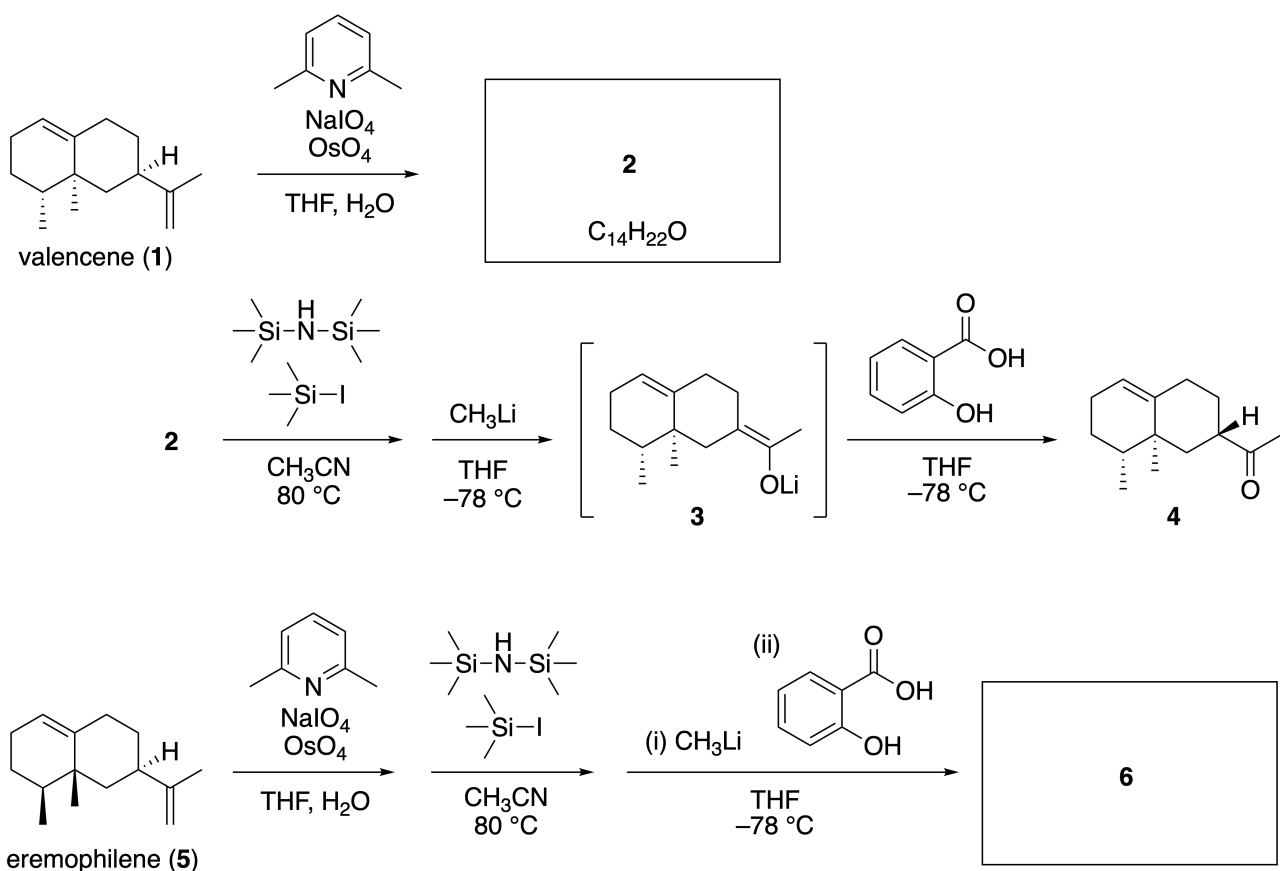
Фото надано: Університет Тохоку.

### Частина А

Linearifolianone - це продукт з унікальною структурою, який був виділений з *Inula linearifolia*. Valencene **1** можна в одну стадію перетворити на продукт **2**, з якого в результаті тристадійного перетворення через інтермедіат **3** утворюється кетон **4**. Використовуючи аналогічну послідовність стадій, егеторхілен **5** може бути перетворений на продукт **6**.



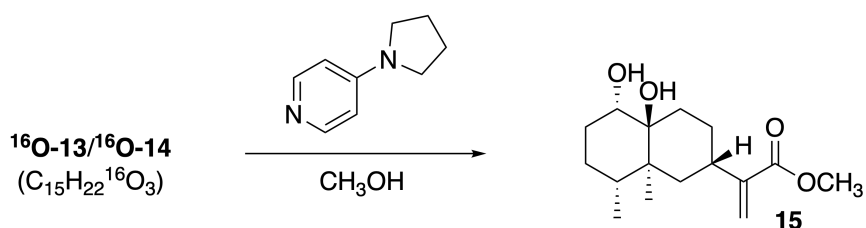
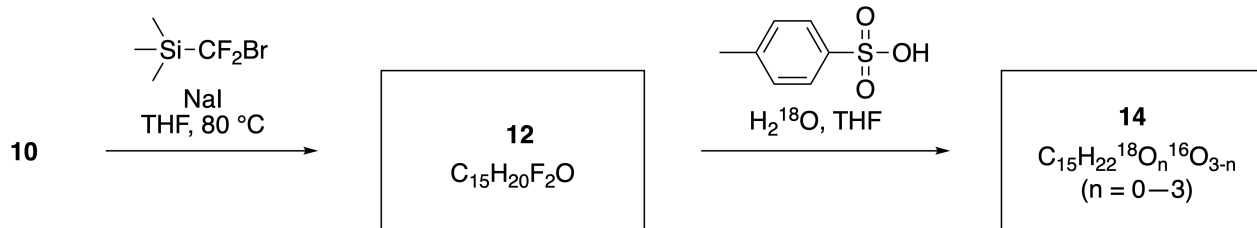
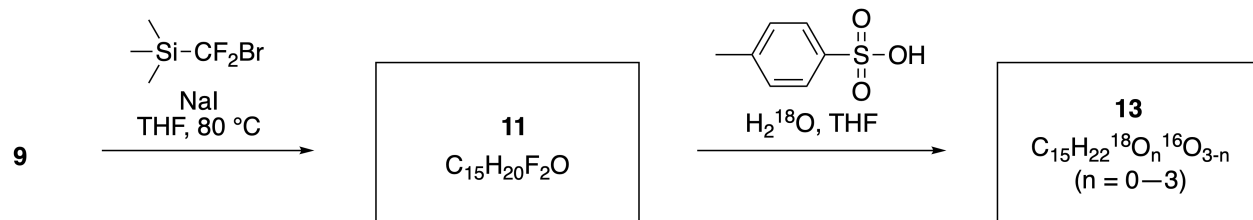
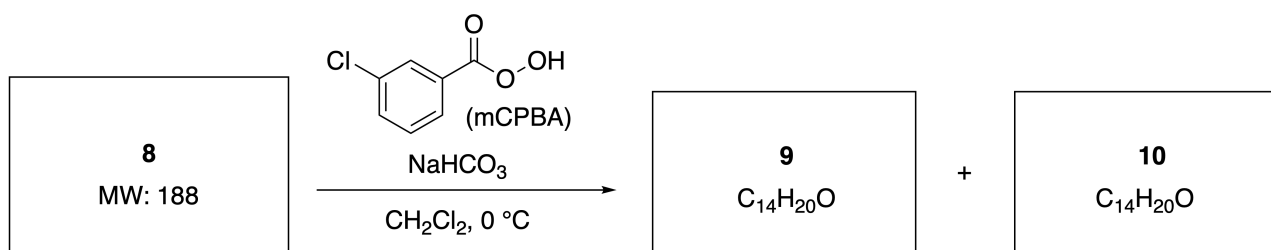
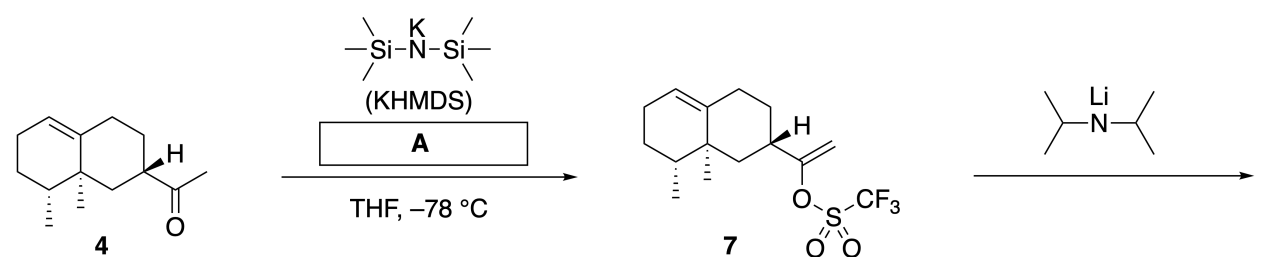
*Inula linariifolia*



**A.1** Наведіть структурні формули сполук **2** та **6**. У разі необхідності, чітко зазначте стереохімію. 5pt

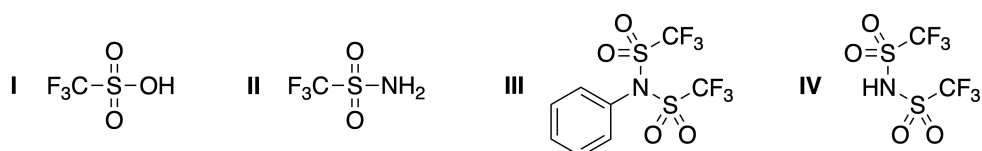
Далі кетон **4** був переведений у естер **15**. Перетворення сполуки **7** у сполуку **8** (молекулярна маса 188) відбувається зі збереженням конфігурації усіх стереоцентрів. Сполуки **9** та **10** мають по п'ять

стереоцентрів та не містять C=C подвійних зв'язків. Припустимо, що  $\text{H}_2^{18}\text{O}$  використовується замість  $\text{H}_2^{16}\text{O}$  для синтезу мічених  $^{18}\text{O}$  linearifolianones **13** та **14**, виходячи, відповідно з сполук **11** та **12**. Сполуки **13** та **14** є  $^{18}\text{O}$ -міченими ізотопомерами. Без урахування ізотопного мічення, обидві сполуки **13** та **14** дають один продукт **15** з ідентичною стереохімією.

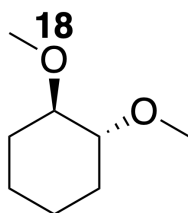


**A.2** З наведених структур оберіть ту, що відповідає реагенту **A**

2pt

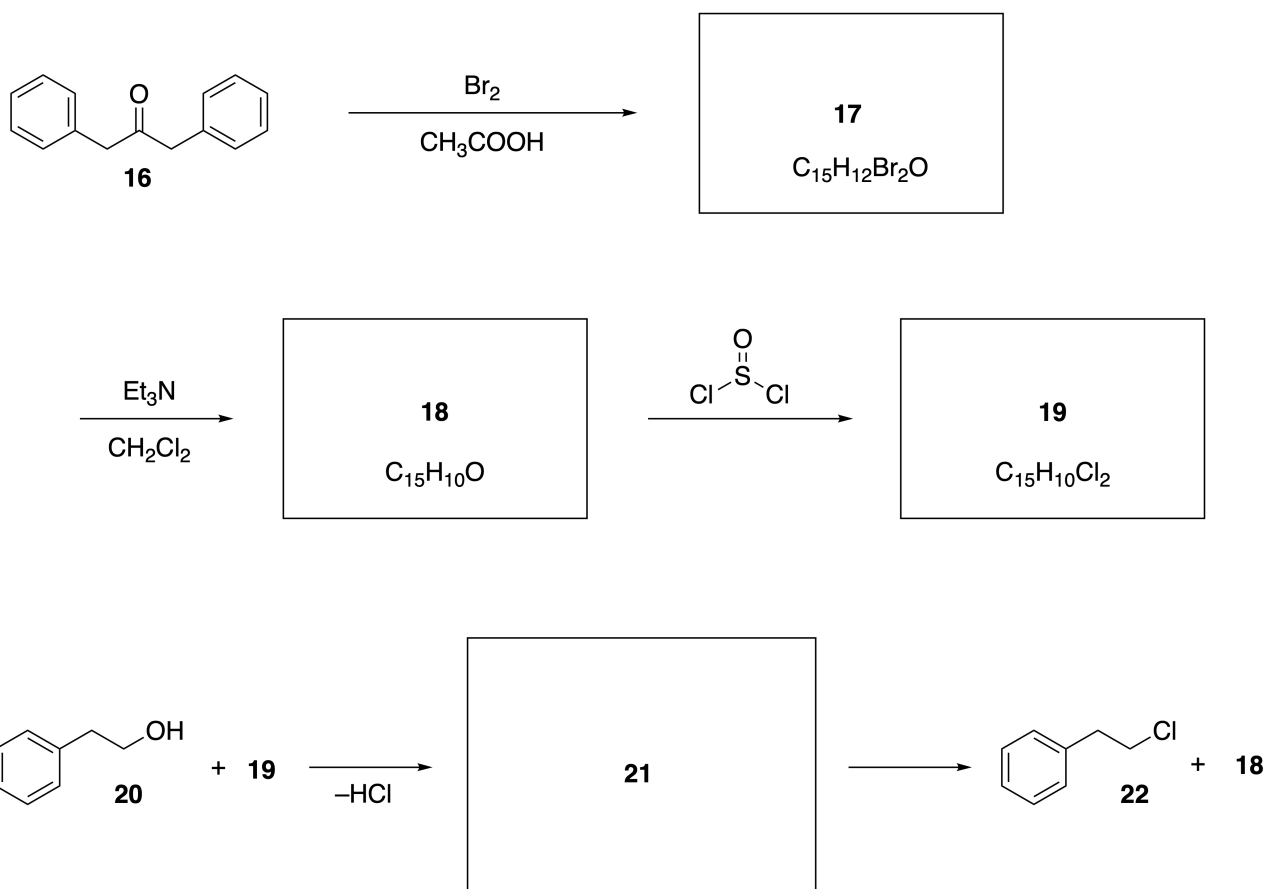


**A.3** Наведіть структурні формули сполук **8-14**. У разі необхідності, чітко зазначте стереохімію. Також, вказіть місця введення атомів  $^{18}\text{O}$  у сполуки **13** та **14**, як показано на прикладі нижче.



**Частина В**

На схемі нижче наведено синтез сполуки **19**. Завдяки наявності небензоїдної ароматичності, **19** можна використовувати як активатор у реакціях спиртів, а сполуку **20** перетворили на сполуку **22** через утворення проміжного інтермедіату **21** іонної будови. Утворення **21** фіксувалося за допомогою ЯМР-спектроскопії, далі **21** поступово розкладався з утворенням кінцевих продуктів **18** та **22**.



$^1\text{H}$  NMR ( $\text{CD}_3\text{CN}$ , ppm) **20**:  $\delta$  7.4–7.2 (5H), 3.7 (2H), 2.8 (2H), 2.2 (1H)

**21**:  $\delta$  8.5–7.3 (15H), 5.5 (2H), 3.4 (2H)

**В.1** **Наведіть** структурні формули сполук **17–19** та **21**. Стереохімію можна не позначати. 10pt



UKR-4 C-7 A-1

**A7-1**  
Ukrainian (Ukraine)

## Гра з небензоїдною ароматичністю

### Частина А

**A.1** (5 pt)

**2** (2 pt)

**6** (3 pt)

**A.2** (2 pt)



**A.3** (19 pt)

**8** (3 pt)



**9** (2 pt)

**10** (2 pt)



**11** (2 pt)

**12** (2 pt)



**13** (4 pt)

**14** (4 pt)



UKR-4 C-7 A-3

**A7-3**  
Ukrainian (Ukraine)

**Частина В**

**В.1** (10 pt)

**17** (2 pt)

**18** (2 pt)

**19** (3 pt)

**21** (3 pt)

UKR-4 C-8 C-1

**UKR-4 C-8 C**  
Daria Klymenko

**IChO**  
**Problem 8**  
**Cover sheet**

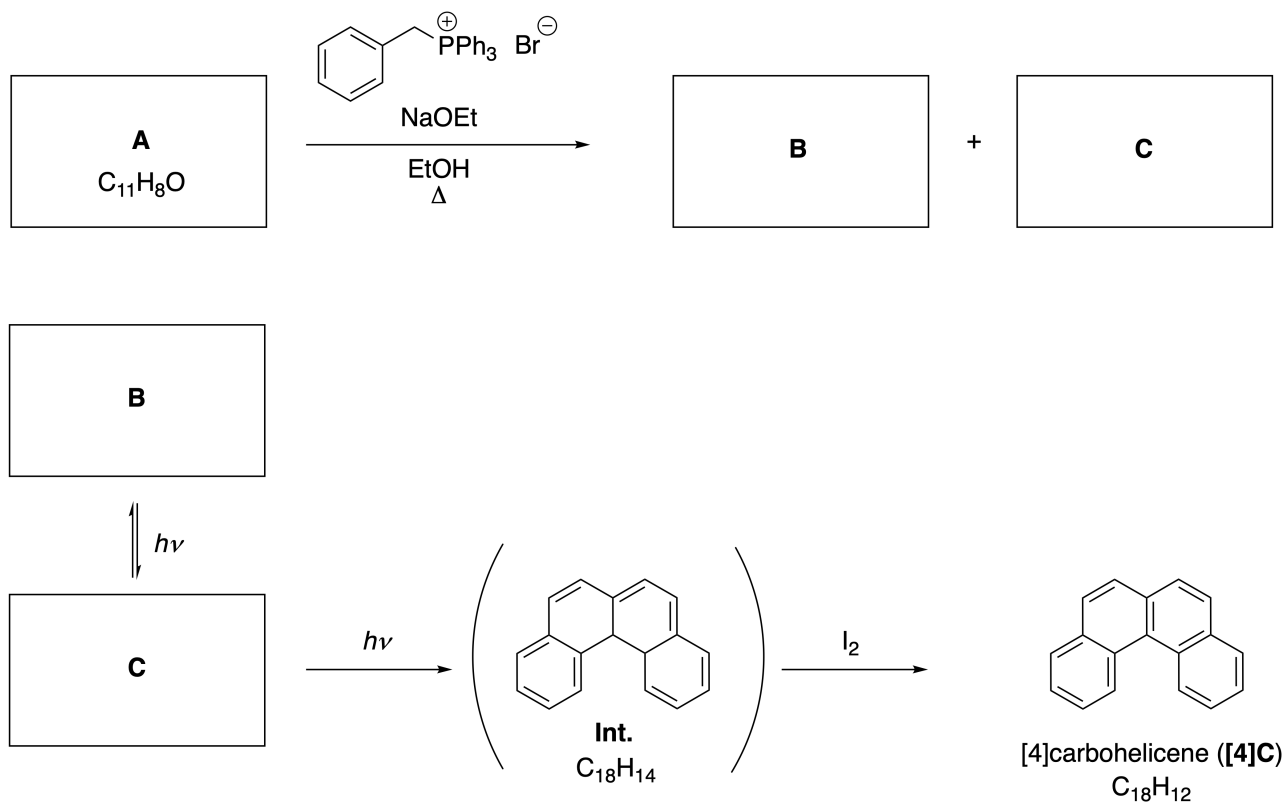
Please return this cover sheet together with all the related question sheets.

## Рухливі органічні молекули та їх хіральність

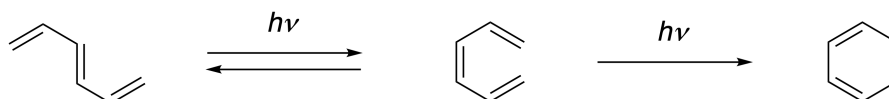
11 балів						
Питання	A.1	A.2	A.3	B.1	B.2	Сума
Очки	9	3	7	3	4	<b>26</b>
Оцінка						

### Частина А

Поліциклічні ароматичні вуглеводні, послідовно заміщені в орто-положенні, називають [n]карбогеліценами. Тут літера n відображає кількість шестичленних циклів (див. нижче). [4]Карбогеліцен **[4]C** може бути отриманий за схемою, наведеною нижче на малюнку, з використанням фотохімічного перетворення та наступного окиснення інтермедіату **Int.**



Фотохімічне перетворення відбувається аналогічно наступному прикладу:

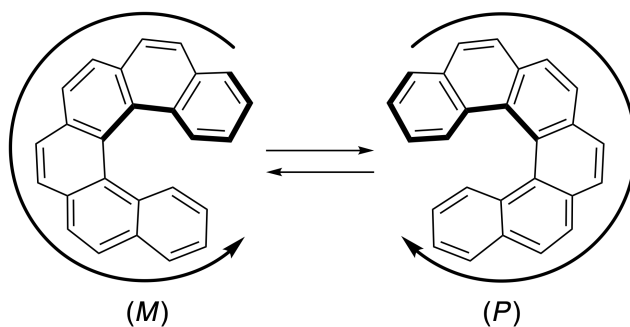


**Примітка:** при відповіді на питання в Задачі 8 для зображення всіх структур використовуйте одинарні та подвійні зв'язки, що чергуються. Для прикладу, дивіться структури карбогеліцену, наведені в умові. Не використовуйте кружечки для зображення супряженої π-системи.

**A.1** **Намалюйте** структурні формули сполук **A-C**. Структури стереоізомерів повинні відрізнятися. 9pt

**A.2** Спроби синтезувати [5]карбогеліцен зі згаданої фосфонієвої солі та відповідної вихідної сполуки призвели до отримання тільки слідових кількостей [5]карбогеліцену. Основним продуктом реакції виявилася речовина **D**, що має молярну масу на 2 Da меншу за таку для [5]карбогеліцену. Хімічні зсуви в спектрі ЯМР <sup>1</sup>H сполуки **D** наведені нижче. **Намалюйте** структурну формулу **D**.  
[**D** (δ, м.ч. в CS<sub>2</sub>, кімн. темп.), 8.85 (2H), 8.23 (2H), 8.07 (2H), 8.01 (2H), 7.97 (2H), 7.91 (2H)] 3pt

[5]- та більшим [n]карбогеліценам притаманна спіральна хіральність, перетворення між енантіомерами за кімнатної температури є достатньо повільним. Хіральність [n]карбогеліценів позначається як (M) чи (P):



[n]Карбогеліцени зі значенням n більшим ніж 4 можуть бути розділені на енантіомери за допомогою хіральної колонкової хроматографії, яка була розроблена проф. Yoshio Okamoto.

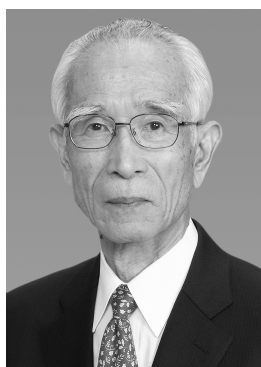


Фото люб'язно надано Japan Prize Foundation

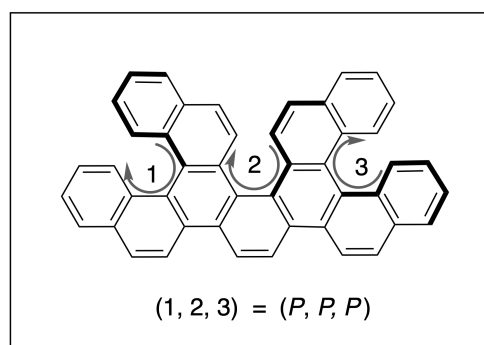
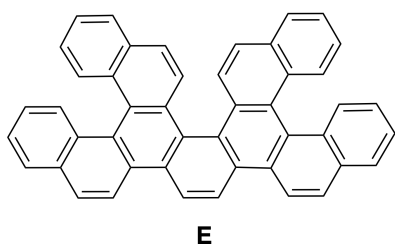


UKR-4 C-8 Q-3

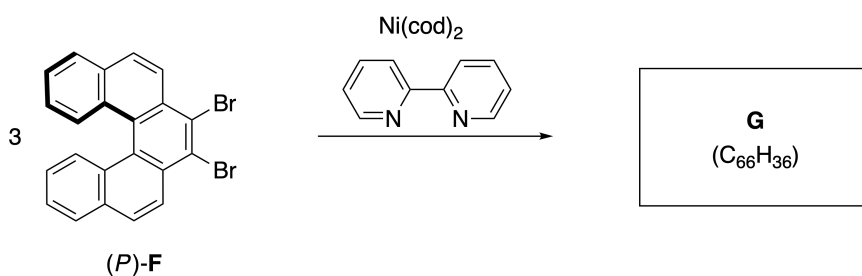
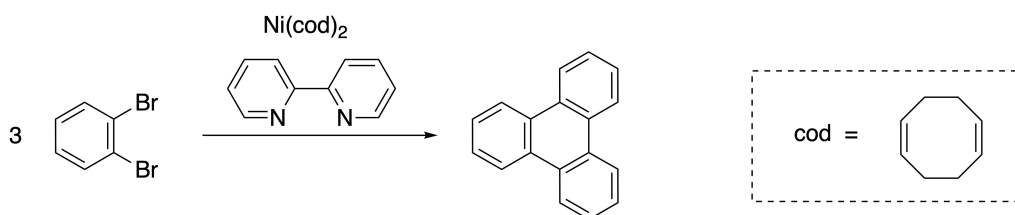
**Q8-3**  
Ukrainian (Ukraine)

---

Множинні геліцени – це молекули, що містять два і більше геліценоподібних фрагментів. З точки зору їх спіральної хіральності, множинний геліцен містить декілька стереоізомерів. Наприклад, сполука **E** містить три [5]карбогеліценові фрагменти в одній молекулі. Один із її стереоізомерів, зображений нижче, позначається як  $(P, P, P)$ .



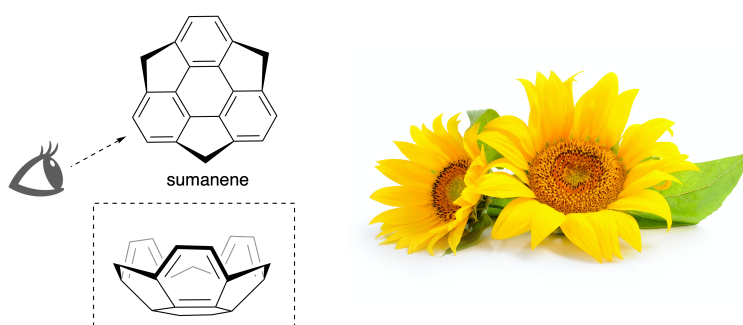
- A.3** Тримеризація 1,2-дибромбензену на нікелевому каталізаторі дає трифенілен. Якщо застосувати це перетворення до енантіомеру сполуки **F**,  $(P)$ -**F**, можна отримати множинний геліцен **G** ( $C_{66}H_{36}$ ). **Наведіть всі** можливі стереоізомери **G**, що утворюються в цьому процесі, без дублікатів. Прийміть, що перетворення між стереоізомерами під час реакції не відбувається. Як зразок, один ізомер повинен бути повністю намальований з хіральністю, як на прикладі вище, з цифровими позначками фрагментів. Інші стереоізомери повинні бути перераховані з позначеннями *M* та *P*, відповідно до нумерації фрагментів. Наприклад, інші стереоізомери сполуки **E** повинні бути перераховані наступним чином:  $(1, 2, 3) = (P, M, P), (P, M, M), (P, P, M), (M, M, M), (M, M, P), (M, P, P)$ , та  $(M, P, M)$ . 7pt



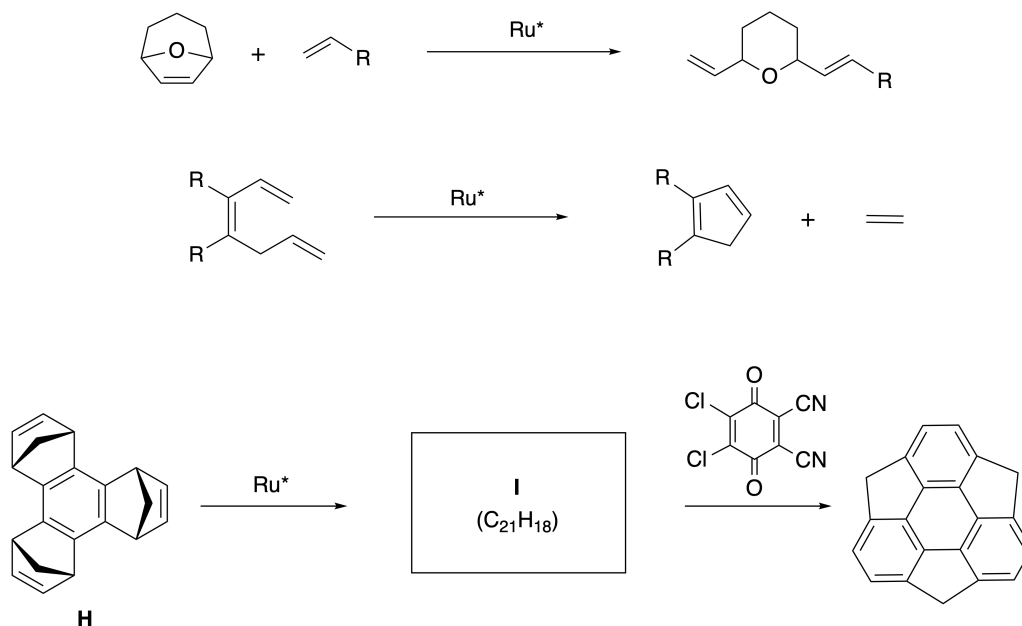
### Частина В

Суманен (sumanene на малюнку) – це чашеподібний вуглеводень, що вперше був описаний в Японії в 2003 році. Ім'я «суманен» походить від слова «суман» (Санскрит-Хінді), що має значення «соняшник».

Послідовність реакцій, використаних для синтезу суманену, включає метатезис з відкриттям та замиканням циклів.

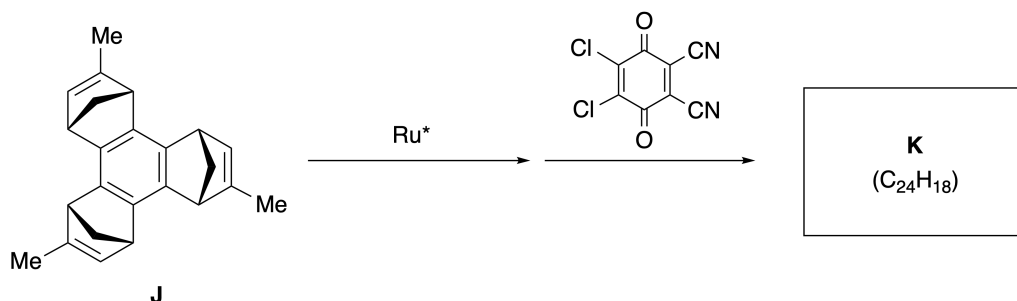


Приклади реакцій метатезису з використанням рутенієвого каталізатору ( $Ru^*$ ) наведені нижче.



**В.1** Намалюйте структурну формулу інтермедіату **I** (позначення стереохімії не є обов'язковим). 3pt





- B.2** Виходячи з оптично активного прекурсору **J**, така ж послідовність перетворень дає оптично активну похідну суманену **K**. Під час реакції метатезису інверсія стереоцентрів в молекулі **J** не відбувається. **Намалюйте** структурну формулу сполуки **K** з позначенням стереохімії. 4pt



UKR-4 C-8 A-1

**A8-1**  
Ukrainian (Ukraine)

## Рухливі органічні молекули та їх хіральність

### Частина А

**A.1** (9 pt)

**A** (3 pt)

**B** (3 pt)

**C** (3 pt)

**A.2** (3 pt)



UKR-4 C-8 A-2

**A8-2**  
Ukrainian (Ukraine)

**A.3** (7 pt)



UKR-4 C-8 A-3

**A8-3**  
Ukrainian (Ukraine)

**Частина В**

**B.1** (3 pt)

**B.2** (4 pt)

UKR-4 C-9 C-1

**UKR-4 C-9 C**  
Daria Klymenko

**IChO**  
**Problem 9**  
**Cover sheet**

Please return this cover sheet together with all the related question sheets.

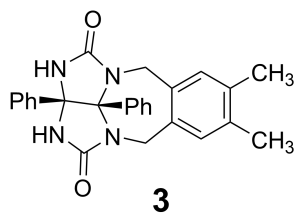
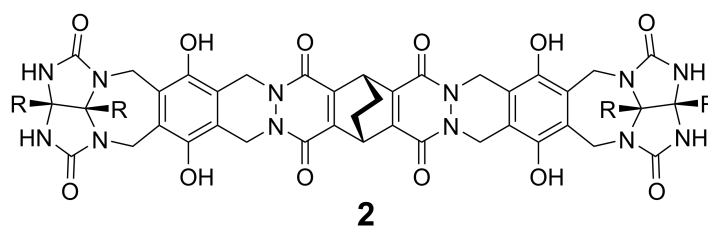
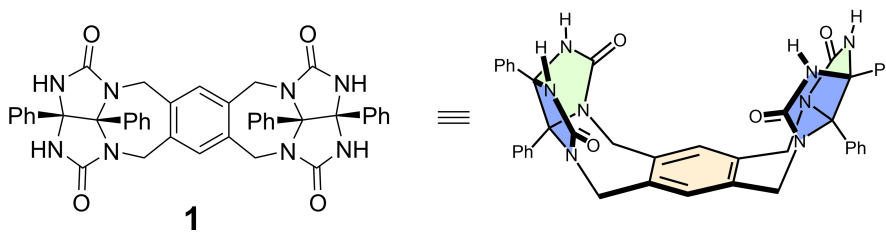
## Переваги та недоліки капсули

10 балів						
Питання	A.1	A.2	A.3	A.4	A.5	Сума
Очки	13	2	2	3	3	<b>23</b>
Оцінка						

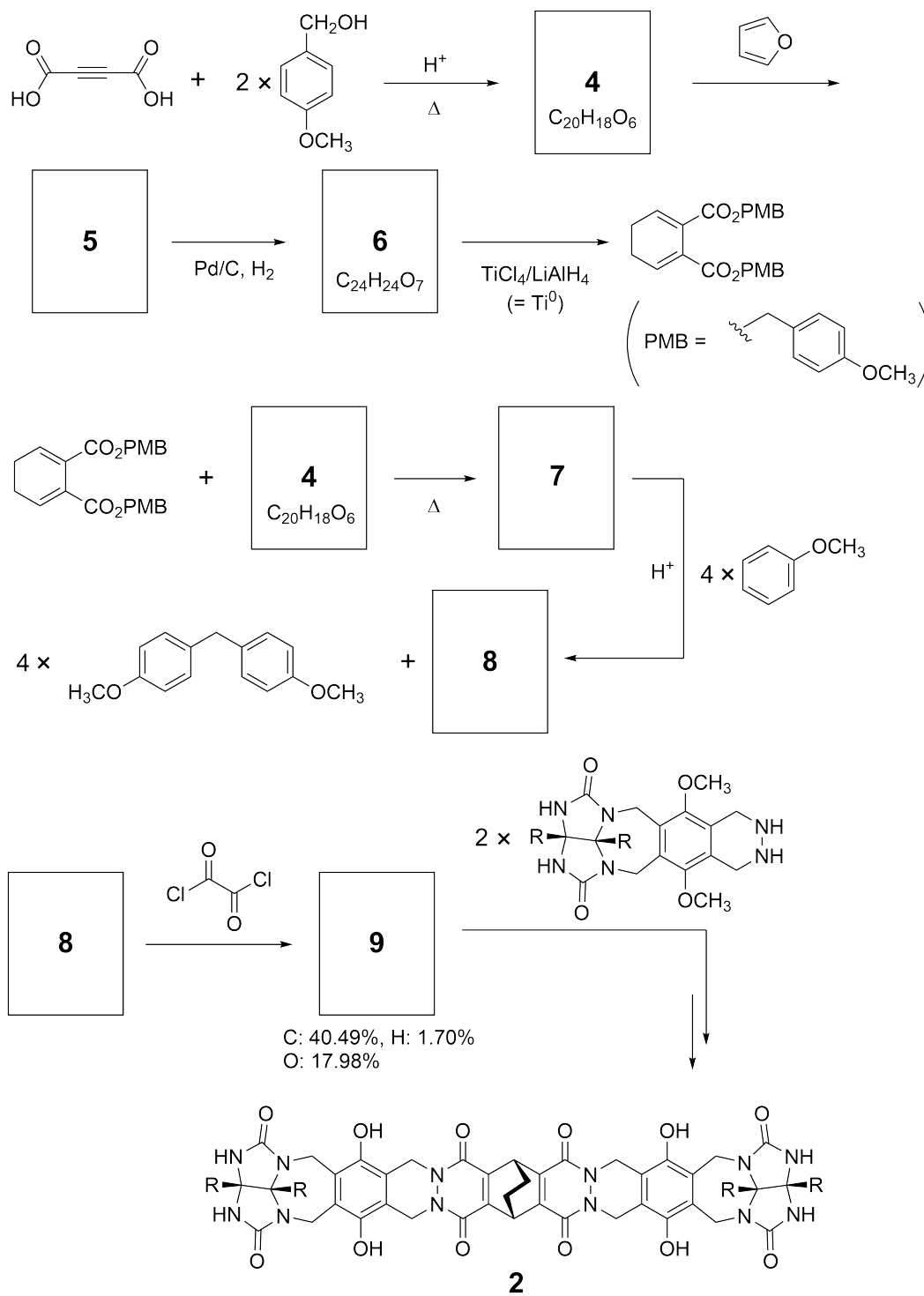
Хороші діти такого не роблять, але якщо розрізати тенісний м'яч за швом, то можна розібрати його на дві частини U-подібної форми.



Використовуючи ідею цієї форми, було синтезовано сполуки **1** та **2**, молекули яких мають U-подібну форму різного розміру. Для порівняння з **1** також було одержано сполуку **3**; нарешті, було досліджено поведінку усіх цих сполук стосовно інкапсуляції.



Підхід до синтезу сполуки **2** показано нижче. Елементний склад сполуки **9**: C; 40.49%, H; 1.70%, and O; 17.98% за масою.



**A.1** Зобразить структури сполук **4-9**; стереохімію можна не позначати. Для зображення *p*-метоксибензильного замісника, замість малювання всієї структури, зображеної на схемі вище, використовуйте позначення "PMB". 13pt





UKR-4 C-9 Q-4

# Q9-4

Ukrainian (Ukraine)

У мас-спектрі сполуки **1** чітко спостерігається пік іону, що відповідає димеру ( $1_2$ ), тоді як пік іону, що відповідав би димеру  $3_2$ , у спектрі сполуки **3** не спостерігається. У спектрі ЯМР  $^1\text{H}$  розчину  $1_2$  всі протони NH, що походять зі сполуки **1**, спостерігалися як хімічно еквівалентні, а їх хімічний зсув суттєво відрізнявся від такого для NH протонів сполуки **3**. Ці дані вказують на те, що між залишками NH молекули **1** та деякими атомами **X** від іншої молекули **1** утворюються водневі зв'язки, що приводить до утворення димерної капсули.

<b>A.2</b>	<b>Обведіть кружечком</b> усі відповідні атом(и) <b>X</b> в структурі <b>1</b> .	2pt
------------	--	-----

<b>A.3</b>	<b>Наведіть</b> кількість водневих зв'язків у димерній капсулі ( $1_2$ ).	2pt
------------	---	-----

Димерна капсула сполуки **1** ( $1_2$ ) має внутрішній простір, у який може бути інкапсульована достатньо маленька молекула **Z**. Це явище описується наступним рівнянням:

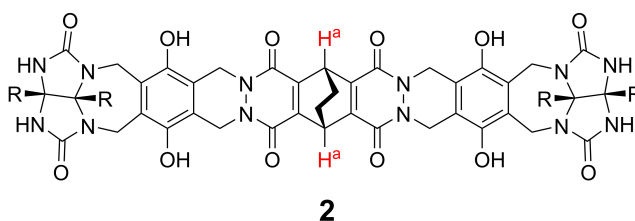


Вираз для константи рівноваги інкапсуляції **Z** у  $1_2$  наведено нижче:

$$K_a = \frac{[Z@1_2]}{[Z][1_2]} \quad (2)$$

Інкапсуляцію молекули в капсулу можна спостерігати за допомогою спектроскопії ЯМР. Наприклад,  $1_2$  в  $C_6D_6$  дає різні сигнали в спектрі ЯМР  $^1H$  до та після додавання  $CH_4$ .

Сполука **2** також утворює жорстку та більшу димерну капсулу ( $2_2$ ). Було записано спектри ЯМР  $^1H$   $2_2$  у  $C_6D_6$ ,  $C_6D_5F$  та суміші  $C_6D_6/C_6D_5F$ ; усі інші умови були однаковими. Хімічні зсуви протонів  $H^a$  сполуки **2** у перелічених вище розчинах наведені в таблиці нижче; інших сигналів від протонів  $H^a$ , окрім перелічених, не спостерігалось. Вважайте, що внутрішня частина капсули завжди заповнена максимально можливою кількістю молекул розчинника, а також що кожен сигнал відповідає окремому типу заповнених капсул.



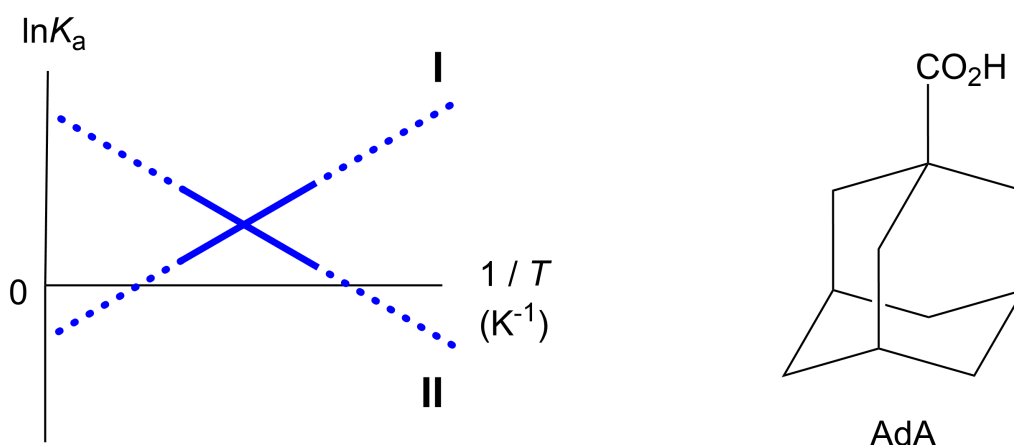
Розчинник	$\delta$ (м.ч.) протонів $H^a$
$C_6D_6$	4.60
$C_6D_5F$	4.71
$C_6D_6 / C_6D_5F$	4.60, 4.71, 4.82

**A.4** **Встановіть** кількість молекул  $C_6D_6$  та  $C_6D_5F$ , інкапсульованих у  $2_2$ , що від- Зпт  
повідують кожному з сигналів  $H^a$ .

Дослідження спектрів ЯМР  $^1\text{H}$  у розчині  $\text{C}_6\text{D}_6$  показало, що капсула  $2_2$  може включати одну молекулу 1-адамтанкарбонової кислоти (AdA). Значення констант асоціації ( $K_a$ ), що визначаються наведеном нижче виразом, було встановлено за різних температур.  $[\text{solvent}@2_2]$  позначає частинки, що містять одну чи більше молекул розчинника.

$$K_a = \frac{[\text{Z}@2_2]}{[\text{Z}][\text{solvent}@2_2]} \quad (3)$$

Аналогічним чином, за допомогою спектроскопії ЯМР  $^1\text{H}$  у розчині  $\text{C}_6\text{D}_6$  було встановлено значення  $K_a$  для  $\text{CH}_4$  та капсули  $1_2$ , що визначаються рівнянням (2). Графіки залежності цих двох констант асоціації від температури у вигляді  $\ln K_a - 1/T$  наведено нижче.



Відомо, що молекули  $\text{C}_6\text{D}_6$  не інкапсуються в  $1_2$ . Нижче зміну ентропії ( $\Delta S$ ), що відповідає графіку **II**, позначено як (1), а зміну ентальпії ( $\Delta H$ ) для цього ж графіку – як (2). Рушійну силу інкапсуляції, що відповідає графіку **II**, позначено як (3). Нарешті, графік **I** відповідає (4), а графік **II** – (5).

**A.5** Для кожного з рядків (1)–(5) у наведеній нижче таблиці оберіть правильний Зрт варіант А або ж В.

	А	В
(1)	позитивна	негативна
(2)	позитивна	негативна
(3)	$\Delta S$	$\Delta H$
(4)	$1_2$ та $\text{CH}_4$	$2_2$ та AdA
(5)	$1_2$ та $\text{CH}_4$	$2_2$ та AdA



UKR-4 C-9 A-1

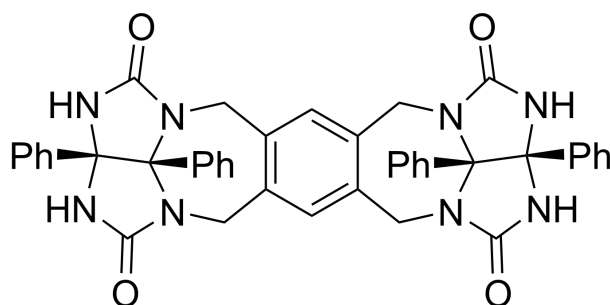
**A9-1**  
Ukrainian (Ukraine)

## Переваги та недоліки капсули

**A.1** (13 pt)

<b>4</b> (2 pt)	<b>5</b> (3 pt)
<b>6</b> (2 pt)	<b>7</b> (2 pt)
<b>8</b> (2 pt)	<b>9</b> (2 pt)

**A.2** (2 pt)



**A.3** (2 pt)

**A.4** (3 pt)

$\delta$ (м.ч.) протонів $H^a$	кількість $C_6D_6$	кількість $C_6D_5F$
4.60 м.ч.		
4.71 м.ч.		
4.82 м.ч.		

**A.5** (3 pt)

(1) : \_\_\_\_\_ (2) : \_\_\_\_\_ (3) : \_\_\_\_\_

(4) : \_\_\_\_\_ (5) : \_\_\_\_\_